

周期馬区動量子系の物理.

板書へりんぐ: 北村の個人HP

<http://morimoto-lab.t.u-tokyo.ac.jp/kiramura/cmpss67>

副読本資料

Eckardt RMP 89, 011004 (2017)

Mori arXiv: 2203.16358

Rudner, Lindner arXiv: 2003.08202

佐藤正寛 物性研究 10 (2022)

Oka, Kiramura Ann.Rev.CMP 40, 387 (2019)

Aoki et al. RMP 86, 779 (2014)

周期馬区動量子系 : ハミルトニアン $\hat{H}(t)$ の
 $\hat{H}(t) = \hat{H}(t+T)$ を満たす系.

T : 周期. $\Omega = \frac{2\pi}{T}$: 馬区動周波数.

(例1) AC電場 ($e - \vec{A} - \vec{E}$) 中の電子.

$$\hat{P} \rightarrow \hat{P} + e \vec{A}(t), \quad \vec{E}(t) = -\partial_t \vec{A}(t).$$

$$\vec{A} = \frac{E_0}{\Omega} \sin \Omega t \quad \text{など}.$$

(例2) Shaken optical lattice (揺れ原子系).

ホテンシブル $V(x) = V_0 \cos kx$ を振動させると:

$$i\partial_t \psi(x, t) = -\frac{\hbar^2}{2m} \partial_x^2 \psi(x, t) + V(x - \delta \cos \Omega t) \psi(x, t).$$

cf. $i\partial_t \psi = i\partial_t \psi + \delta \cos \Omega t \psi$:

$$i\partial_t \psi(x, t) = i\partial_t \psi + i\partial_x \psi \times (-\delta \cos \Omega t)$$

$$= -\frac{\hbar^2}{2m} \partial_x^2 \psi(x, t) + V(x) \psi(x, t) - \underbrace{\delta \cos \Omega t}_{\text{ハーフルートンシナリオ}} i\partial_x \psi(x, t).$$

\hat{H} が時間依存 \rightarrow 時間依存 Schrödinger eq.

$$i\partial_t |\psi(t)\rangle = \hat{H}(t) |\psi(t)\rangle \quad - (*)$$

を解く必要がある。

周期駆動系の利点： Floquet 理論が使える。

Floquet の定理 $(*)$ の一形は

$$|\psi_\alpha(t)\rangle = |U_\alpha(t)\rangle e^{-iE_\alpha t}, \quad |U_\alpha(t+T)\rangle = |U_\alpha(t)\rangle$$

の形の解の補合で表せる。

E_α ： 振動エネルギー (Bloch の定理での総論)

$$|\psi_\alpha(t)\rangle = (|U_\alpha(t)\rangle e^{iE_\alpha t}) e^{-i(E_\alpha + \Omega)t} \quad \text{ここで } \Omega \text{ は}$$

E_α は $\text{mod } \Omega$ の意味を持つ。 (Floquet Brillouin ラン)

\rightarrow エネルギー方向にも周期性があるエネルギーバンドの出現。

E_α を求める問題は「有効ハミルトン $= P_2$ 」の角化問題に帰着される。

(§ 1-2 参照)

\rightarrow 有効ハミルトン $= P_2$ の設計 = 物性の設計。

Floquet エンジニアリング。

特に ハンドトポロジーの制御に有用。 (§ 3 で見る)

Mott 転移、破壊性、超伝導への応用 \rightarrow § 5。

§ 1 Floquet の定理

$$\hat{H}(t) = \hat{H}(t+T) \quad \text{時間の離散化並進不變性} \\ \rightarrow \text{対応する保存則?}$$

(\hat{H} が時間に依存しないとき)

$$\text{時間発展演算子 } \hat{U}(t, t_0) = e^{-i\hat{H}(t-t_0)}$$

並進の固有状態 = \hat{H} の固有状態.

エネルギー (\hat{H} の固有値) は時間並進で不變 (エネルギー保存則)

cf) その他特徴性: $[\hat{S}, \hat{H}] = 0$ なら,

$$e^{i\hat{H}t} \hat{S} e^{-i\hat{H}t} = \hat{S} \rightarrow \langle \hat{S} \rangle \text{ は時間変化しない}.$$

(\hat{H} が時間依存するとき)

$$\hat{U}(t, t_0) = T \exp \left[-i \int_{t_0}^t dt' \hat{H}(t') \right]$$

$$:= \sum_{N=0}^{\infty} \frac{(-i)^N}{N!} \int_{t_0}^t dt_1 \dots \int_{t_N}^t dt_N T[\hat{H}(t_1) \dots \hat{H}(t_N)]$$

並進の固有状態 ≠ $\hat{H}(t)$ の固有状態.

→ 離散並進の固有状態とはしてない (たぶん) どうして状態か?

$\hat{H}(t+T) = \hat{H}(t)$ から得る性質

$$\hat{U}(t+T, t_0+T) = T \exp \left[-i \int_{t_0}^t dt' \hat{H}(t'+T) \right] \\ = \hat{U}(t, t_0)$$

離散並進: $t = t_0 + nT$ の場合

$$\hat{U}(t_0+nT, t_0) = \underbrace{\hat{U}(t_0+nT, t_0+(n-1)T)}_{\hat{U}(t_0+T, t_0)} \times \hat{U}(t_0+(n-1)T, t_0+(n-2)T) \\ \times \dots \times \underbrace{\hat{U}(t_0+2T, t_0+T)}_{\hat{U}(t_0+T, t_0)} \times \hat{U}(t_0+T, t_0) \\ = [\hat{U}(t_0+T, t_0)]^n$$

$$\rightarrow \hat{U}(t_0 + T, t_0) = e^{-i\hat{F}T} \quad \text{で } \hat{F} \text{ を実験すると,}$$

$$\hat{U}(t_0 + nT, t_0) = e^{-i\hat{F}nT}$$

時間は依存しない、つまり \hat{F} の nT の時間発展を算出!

$$\begin{aligned} \text{離散並進の固有状態} &= \hat{U}(t_0 + nT, t_0) \text{の固有状態.} \\ &= \hat{U}(t_0 + T, t_0) \quad " \\ &= \hat{F} \text{ の固有状態.} \end{aligned}$$

(Remark)

- \hat{F} は基準時刻 t_0 に依らず $\mod T$ で依存する.
 $e^{-i\hat{F}(t'_0)T} = \hat{U}(t'_0 + T, t'_0)$
 $= \hat{U}(t'_0 + T, t_0 + T) \hat{U}(t_0 + T, t_0) \hat{U}(t_0, t'_0)$
 $= \hat{U}(t_0, t'_0)^* e^{-i\hat{F}(t_0)T} \hat{U}(t_0, t'_0)$.
- \hat{F} の固有値は t_0 には依存しない.
(R の t_0 による \hat{F} の値が t_0 によって異なる.)
- $\hat{F} = iT^{-1} \ln \hat{U}(t_0 + T, t_0)$ の固有値は
 $iT^{-1} \times (-2\pi i) = \Omega$ の不定性をもつ ($e^{-i\Omega T} = 1$)

◆ 離散並進の固有状態の性質 (Floquetの定理)

時間依存 Schrödinger eq. の初期状態を
離散並進の固有状態に取ると

$$\hat{F}(t) |\Psi_\alpha(t_0)\rangle = \epsilon_\alpha |\Psi_\alpha(t_0)\rangle$$

形式解は, $|\Psi_\alpha(t)\rangle = \hat{U}(t, t_0) |\Psi_\alpha(t_0)\rangle$.

$$\begin{aligned} &= e^{-i\epsilon_\alpha t} \\ |\Psi_\alpha(t+nT)\rangle &= \hat{U}(t+nT, t+nT) \hat{U}(t+nT, t_0) |\Psi_\alpha(t_0)\rangle \\ &= e^{-i\epsilon_\alpha nT} \hat{U}(t, t_0) |\Psi_\alpha(t_0)\rangle \\ &= e^{-i\epsilon_\alpha nT} |\Psi_\alpha(t)\rangle. \end{aligned}$$

{ 任意の t における T の並進は対応する固有状態 (= 定数) }.

(Floquet 定理)

$$\begin{aligned} \text{特に } &= e^{-i\epsilon_\alpha t} |\Psi_\alpha(t)\rangle = |U_\alpha(t)\rangle e^{-i\epsilon_\alpha t} \quad t \rightarrow \infty, \\ |U_\alpha(t+nT)\rangle &\in e^{-i\epsilon_\alpha (t+nT)} = e^{-i\epsilon_\alpha nT} |U_\alpha(t)\rangle e^{-i\epsilon_\alpha t} \\ \rightarrow |U_\alpha(t+nT)\rangle &= |U_\alpha(t)\rangle \quad |U_\alpha(t)\rangle \text{ は周期関数.} \\ &\quad (\text{Bloch 定理の時間版}) \end{aligned}$$

(Remark)

- \hat{F} の固有状態は完全系をなすので、任意の初期状態から時間発展は Floquet 状態の線形結合で表せる。
- Floquet 状態は時間の離散並進の固有状態。
- 周期関数 $|U_\alpha(t)\rangle$ の選択の不定性
 \rightarrow 構成エーテル $= \text{mod } \Omega$

△ Sambe 空間

Floquet 特性 $|\Psi_\alpha(t)\rangle$

$$\hat{F}(t_0) |\Psi_\alpha(t_0)\rangle = \epsilon_\alpha |\Psi_\alpha(t_0)\rangle \text{ から 未だ}.$$

$$F(t_0) = \tilde{\lambda} T^{\gamma} \ln \hat{U}(t_0 + T, t_0).$$

\hat{U} を計算せずとも $|\Psi_\alpha(t)\rangle$ を求められるか?
 → Sambe 空間 の方法

$|\psi_\alpha(t)\rangle = |\psi_\alpha(t+T)\rangle$ を Fourier 級数 展開 する.

$$|\psi_\alpha(t)\rangle = \sum_{m=-\infty}^{\infty} |\psi_{\alpha,m}\rangle e^{-im\Omega t}$$

$$|\psi_{\alpha,m}\rangle = \int_0^T \frac{dt}{T} |\psi_\alpha(t)\rangle e^{im\Omega t}$$

$$\text{同様に, } \hat{H}(t) = \sum_{m=-\infty}^{\infty} \hat{h}_m e^{-im\Omega t}$$

$$|\Psi_\alpha(t)\rangle = |\psi_\alpha(t)\rangle e^{-\tilde{\lambda} \epsilon_\alpha t} \text{ は TD-Schrodinger eq.}$$

の角周 T_F の "z"

$$i\partial_t \left[\sum_{m=-\infty}^{\infty} |\psi_{\alpha,m}\rangle e^{-\tilde{\lambda} (\epsilon_\alpha + m\Omega)t} \right]$$

$$= \sum_{m=-\infty}^{\infty} \sum_{n=-\infty}^{\infty} \hat{h}_{m-n} |\psi_{\alpha,n}\rangle e^{-\tilde{\lambda} (\epsilon_\alpha + n\Omega)t} e^{-\tilde{\lambda} (m-n)\Omega t}$$

$$\Leftrightarrow (\epsilon_\alpha + m\Omega) |\psi_{\alpha,m}\rangle = \sum_{n=-\infty}^{\infty} \hat{h}_{m-n} |\psi_{\alpha,n}\rangle.$$

$$\Leftrightarrow \sum_{n=-\infty}^{\infty} (\hat{h}_{m-n} - \delta_{m-n} m\Omega) |\psi_{\alpha,n}\rangle = \epsilon_\alpha |\psi_{\alpha,m}\rangle.$$

→ Fourier index を新しい内部自由度とみなせば

$$\begin{bmatrix} \hat{H}_0 - \Omega & \hat{H}_1 & \hat{H}_2 \\ \hat{H}_{-1} & \hat{H}_0 & \hat{H}_1 \\ \hat{H}_{-2} & \hat{H}_{-1} & \hat{H}_0 + \Omega \end{bmatrix} \begin{bmatrix} |U_{\alpha,1}\rangle \\ |U_{\alpha,0}\rangle \\ |U_{\alpha,-1}\rangle \\ \vdots \end{bmatrix} = \epsilon_\alpha \begin{bmatrix} |U_{\alpha,1}\rangle \\ |U_{\alpha,0}\rangle \\ |U_{\alpha,-1}\rangle \\ \vdots \end{bmatrix}$$

$$(\hat{H} - \hat{M}\Omega) |U_\alpha\rangle = \epsilon_\alpha |U_\alpha\rangle$$

↑ 時間は依存しない Schrödinger エネルギー

(但し Hilbert 空間が大きくなる)

↳ Sambbe 空間と物理的意味

(Remark)

- $\langle U_\alpha | U_\beta \rangle = \int_0^T \frac{dt}{T} \langle U_\alpha(t) | U_\beta(t) \rangle = \delta_{\alpha\beta}$ とする。
- 特に $|U_\beta(t)\rangle = |U_\alpha(t)\rangle e^{-i\Omega t}$ のとき $\langle U_\alpha | U_\beta \rangle = 0$
→ 物理的には等価な接続エネルギー $\epsilon_\alpha + n\Omega$ の解が得られる。
Sambbe 空間では区別される。

- エネルギーの $n\Omega$ の「アドオン」を吸収して吐いたりする
構像は考慮していない。(これはアドオン数に対する「量子力学的誤差」)

ユニークのまとめ: $\hat{H}(t) = \hat{H}(t+T)$ となる。

$$|\Psi_\alpha(t)\rangle = |U_\alpha(t)\rangle e^{-i\epsilon_\alpha t}, \quad |U_\alpha(t+T)\rangle = |U_\alpha(t)\rangle$$

↙ $t=t_0+nT$ のときに着目

↘ Hilbert 空間を拡張

$$e^{-i\hat{H}T} |U_\alpha(t_0)\rangle = e^{-i\epsilon_\alpha T} |U_\alpha(t_0)\rangle$$

||
 $U(t_0+T, t_0)$

$$(\hat{H} - \hat{M}\Omega) |U_\alpha\rangle = \epsilon_\alpha |U_\alpha\rangle$$

◇ 時間発展演算子の Floquet 算法

Floquet = (時間発展算子) を用いて $\hat{U}(t, t_0)$ を書く方法:

$$\hat{U}(t, t_0) = \sum_{\alpha} |\psi_{\alpha}(t)\rangle \langle \psi_{\alpha}(t_0)|$$

$$= \sum_{\alpha} |v_{\alpha}(t)\rangle \langle v_{\alpha}(t_0)| e^{-iE_{\alpha}(t-t_0)}$$

適当な正規直交基底 $\{|\phi_{\alpha}\rangle\}$ を取ると

$$\hat{U}(t, t_0) = \sum_{\alpha} |v_{\alpha}(t)\rangle \langle \phi_{\alpha}| \sum_{\beta} |\phi_{\beta}\rangle \langle \phi_{\beta}| \sum_{\gamma} |\phi_{\gamma}\rangle \langle v_{\beta}(t)|$$

$$:= \hat{V}(t) e^{-i\hat{H}_{\text{eff}}(t-t_0)} \hat{V}(t_0)^{\dagger} \quad \leftarrow \text{特徴(=)}$$

$$\Rightarrow \hat{V}(t) = \hat{V}(t+T) \quad \hat{U}(t_0+T, t_0) = \hat{V}(t_0) e^{-i\hat{H}_{\text{eff}}T} \hat{V}(t_0)$$

Remark: $|\phi_{\alpha}\rangle$ は \hat{H}_{eff} の固有ベクトル。ならずともよい。

$$|\phi_{\alpha}\rangle = |v_{\alpha}(t_0)\rangle \text{ かつ } \hat{H}_{\text{eff}} = \hat{F}(t_0), \hat{V}(t_0) = 1$$

$$i\partial_t \hat{U}(t, t_0) = \hat{H}(t) \hat{U}(t, t_0) \quad T_2 \text{ の } "z"$$

$$(i\partial_t \hat{V}(t) + \hat{V}(t) \hat{H}_{\text{eff}}) e^{-i\hat{H}_{\text{eff}}t} = \hat{H}(t) \hat{V}(t) e^{-i\hat{H}_{\text{eff}}t}$$

$$\Leftrightarrow \hat{V}(t)^{\dagger} (\hat{H}(t) - i\partial_t) \hat{V}(t) = \hat{H}_{\text{eff}}$$

つまり、周期的運動系 $\hat{F}(t)$ を時間 T で区切ったときの演算子

\hat{H}_{eff} は T で周期的でユニタリ変換 $\hat{V}(t) = \hat{V}(t+T)$ が成立する。

これが存在する。

上のようにユニタリ変換が存在すると、

$$\hat{H}_{\text{eff}} |\phi_{\alpha}\rangle = \epsilon_{\alpha} |\phi_{\alpha}\rangle \quad \text{ただし } \epsilon_{\alpha}$$

$$i\partial_t (\hat{V}(t) |\phi_{\alpha}\rangle e^{-i\hat{H}_{\text{eff}}t}) = (\hat{H}(t) \hat{V}(t) - \hat{V}(t) \hat{H}_{\text{eff}}) |\phi_{\alpha}\rangle e^{-i\hat{H}_{\text{eff}}t}$$

周期的関数

$$+ \epsilon_{\alpha} \hat{V}(t) |\phi_{\alpha}\rangle e^{-i\hat{H}_{\text{eff}}t}$$

$$= \hat{H}(t) (\hat{V}(t) |\phi_{\alpha}\rangle e^{-i\hat{H}_{\text{eff}}t})$$

Floquet 定理と同様。

§ 2 高周波展開

Fourier インテル $\int_{-\infty}^{\infty} e^{-i\omega t} f(t) dt = \sum c_n e^{i\omega n t}$

$$e^{-i\hat{H}t} \rightarrow e^{-i\hat{F}t} = \hat{U}(t_0 + T, t_0)$$

ハミルトン = $\hat{P}^2/2m$ 外場 EP 加の前後でどう変化するかを調べる = \hat{F} は物性をコントロールする。

問題:

- \hat{F} の具体形が分からぬ。
- \hat{F} の t_0 依存性の扱い方?
(例えば、期待値の平均など)
（本当は知りたい）

→ 極動論を使ってべき級数解説とつくる。

→ $\hat{F} = \hat{F}_0 + \hat{F}_1 + \dots$ 極動論とは?

\hat{F} の(形式的)決定法

$$\textcircled{1} \quad \hat{F} = iT \ln \hat{U}(t_0 + T, t_0) \text{ の右边を } \hat{U} \text{ に対する}$$

$T_0 Schrödinger eq.$ を解く事だ。

$$\textcircled{2} \quad \hat{U}(t)^\dagger (\hat{H}^{(0)} - i\partial_t) \hat{U}(t) = \hat{H}_{eff} \quad \hat{U}(t_0) = 1 \quad n \neq \infty \text{ 解} < \infty \quad \hat{H}_{eff} = \hat{F} \text{ とする。}$$

② は Sambbe 空間で表示すると、

$$\begin{pmatrix} \vdots & v_1 & \\ \vdots & v_2 & \\ \vdots & v_3 & \\ \vdots & v_4 & \\ \vdots & v_5 & \end{pmatrix}^\dagger (\hat{H}_0 - i\partial_t) \begin{pmatrix} \vdots & v_1 & \\ \vdots & v_2 & \\ \vdots & v_3 & \\ \vdots & v_4 & \\ \vdots & v_5 & \end{pmatrix} = \begin{pmatrix} \vdots & H_{eff=0} & 0 & \\ 0 & H_{eff} & 0 & \\ 0 & 0 & H_{eff=0} & \end{pmatrix}$$

→ \hat{V} はプローブ角化を行なう役割。

Sambé 空間 \mathbb{Z}^n は 小さな 極動展開 が 使える。

特に、系官退 の よる 極動言論 は 數学的には
ブローワン化 の 逐次解法 に相当。

→ 直感的に ブローワン 対角 1 = 0 (= 時間 に依存しない)
極限 からの 展開 を Sambé 空間 \mathbb{Z}^n で すれば よい。

$\Omega \rightarrow \infty$ の 程度

$$\hat{H} - \hat{M}\Omega \sim -\hat{M}\Omega = \begin{pmatrix} & & & \\ & \boxed{-\Omega} & & \\ & & \boxed{0} & \\ & & & \boxed{\Omega} \end{pmatrix}$$

から 展開 する。 ($\frac{1}{\Omega}$ での 展開)

$$\hat{V}(t) = e^{-\hat{H}\hat{\Lambda}(t)}, \quad \hat{\Lambda}(t) = \sum_m \hat{\lambda}_m e^{-\lambda_m \Omega t}$$

$$\hat{\Lambda} = \begin{bmatrix} & & & \\ \vdots & \lambda_0 & \lambda_1 & \lambda_2 \\ \vdots & \lambda_0 & \lambda_1 & \vdots \\ \vdots & \lambda_0 & \lambda_1 & \lambda_0 \\ \vdots & \vdots & \vdots & \vdots \end{bmatrix} \quad \text{を用いて},$$

$$e^{\hat{\Lambda}\hat{L}} (\hat{H} - \hat{M}\Omega) e^{-\hat{\Lambda}\hat{L}} = (\hat{H}_{\text{eff}} \otimes 1) - \hat{M}\Omega.$$

$$\left. \begin{array}{l} \hat{H}_{\text{eff}} = \hat{H}_{\text{eff}}^{(0)} + \hat{H}_{\text{eff}}^{(1)} + \dots \\ \hat{\lambda}_m = \hat{\lambda}_m^{(0)} + \hat{\lambda}_m^{(1)} + \dots \end{array} \right\}$$

ここで 総数比較 すれば よい。

$$(\Omega \rightarrow \infty \text{ の 程度} \Rightarrow \text{0, } \lambda \text{ 対角} \Rightarrow \hat{\lambda}_m^{(0)} = 0 \text{ となる})$$

$$(\text{補足}) \quad e^{\hat{\lambda}\hat{H}(t)} (\hat{H}(t) - i\partial_t) e^{-\hat{\lambda}\hat{H}(t)} = \hat{H}_{\text{eff}}$$

$$\rightarrow e^{i\hat{\lambda}\hat{L}} (\hat{H} - i\hat{\Omega}) e^{-i\hat{\lambda}\hat{L}} = \hat{H}_{\text{eff}} \otimes \mathbf{1} - i\hat{\Omega} \quad \text{が成り立つ}$$

$$[\hat{A}]_{m,n} = \hat{A}_{mn} \quad \text{のとき, } [\hat{A}]_{m,n} = \hat{A}_{mn}$$

$$\underbrace{[\hat{A} \hat{B}]_{m,n}}_{= \int_0^T dt} = \sum_e [\hat{A}]_{m,e} [\hat{B}]_{e,n} = \sum_e \hat{A}_{m,e} \hat{B}_{e,n}$$

$$= \int_0^T dt \underbrace{\hat{A}(t) \hat{B}(t)}_{= e^{i\lambda(m-n)t}} e^{i\lambda(m-n)t}$$

$$\therefore \int_0^T dt e^{i\lambda\hat{H}(t)} \hat{H}(t) e^{-i\lambda\hat{H}(t)} e^{i\lambda(m-n)t} = [e^{i\hat{\lambda}} \hat{H} e^{-i\hat{\lambda}}]_{m,n}.$$

他方、

$$\begin{aligned} & \int_0^T dt \left[e^{i\lambda\hat{H}(t)} i\partial_t e^{-i\lambda\hat{H}(t)} \right] e^{i\lambda(m-n)t} \\ &= \int_0^T dt \left[e^{i\lambda\hat{H}(t)} i\partial_t \left(\sum_e [e^{-i\hat{\lambda}}]_{e,n} e^{-i\lambda(e-n)t} \right) \right] e^{i\lambda(m-n)t} \\ &= \sum_e \left[e^{i\hat{\lambda}} \right]_{m,e} (e-n)\Omega \left[e^{-i\hat{\lambda}} \right]_{e,n} \\ &= \left[e^{i\hat{\lambda}} [\hat{\Omega}, e^{-i\hat{\lambda}}] \right]_{m,n} \\ &= \left[e^{i\hat{\lambda}} \hat{\Omega} e^{-i\hat{\lambda}} - \hat{\Omega} \right]_{m,n}. \end{aligned}$$

(Bernoulli(ビンヌー)数を使ったエルガントな計算方法は講義 1-1 参照)

$$e^{\hat{A}} \hat{B} e^{-\hat{A}} = \hat{B} + [\hat{A}, \hat{B}] + \frac{1}{2!} [\hat{A}, [\hat{A}, \hat{B}]] + \dots$$

を代入し、

$$\hat{x} - \hat{m}\Omega + [\hat{i}\hat{L}, \hat{x} - \hat{m}\Omega] + \frac{1}{2!} [\hat{i}\hat{L}, [\hat{i}\hat{L}, \hat{x} - \hat{m}\Omega]] + \dots = (\hat{H}_{\text{eff}} \otimes 1) - \hat{m}\Omega$$

$$\forall \omega \in \mathbb{R}: \quad \hat{x} + [\hat{i}\hat{L}^{(0)}, -\hat{m}\Omega] = \hat{H}_{\text{eff}}^{(0)} \otimes 1.$$

$$\hat{H}_m + \hat{x}_{m\Omega} \hat{\lambda}_m^{(0)} = \hat{H}_{\text{eff}}^{(0)} \delta_{m,0}$$

$$\rightarrow \hat{H}_{\text{eff}}^{(0)} = \hat{H}_0, \quad \hat{\lambda}_{m \neq 0}^{(0)} = -\frac{\hat{H}_m}{\hat{x}_{m\Omega}},$$

$\hat{\lambda}_0^{(0)}$ は積分定数となるべき (係数扱う)

$$\begin{aligned} \forall \omega \in \mathbb{R}: & [\hat{i}\hat{L}^{(0)}, \hat{x}] + [\hat{i}\hat{L}^{(0)}, -\hat{m}\Omega] \\ & + \frac{1}{2!} [\hat{i}\hat{L}^{(0)}, [\hat{i}\hat{L}^{(0)}, -\hat{m}\Omega]] = \hat{H}_{\text{eff}}^{(0)} \otimes 1. \end{aligned}$$

$$\hat{H}_{\text{eff}}^{(0)} \otimes 1 - \hat{x}$$

$$[\hat{i}\hat{L}^{(0)}, -\hat{m}\Omega] + \frac{1}{2} [\hat{i}\hat{L}^{(0)}, \hat{H}_{\text{eff}}^{(0)} \otimes 1 + \hat{x}] = \hat{H}_{\text{eff}}^{(0)} \otimes 1.$$

$$\xrightarrow{\text{対角成分}} \sum_m \frac{1}{2} [\hat{i}\hat{\lambda}_m^{(0)}, \hat{H}_{\text{eff}}^{(0)} \delta_{m,0} + \hat{H}_m] = \hat{H}_{\text{eff}}^{(0)}$$

$$\hat{H}_m / m\Omega = \hat{H}_0$$

$$\hat{H}_{\text{eff}}^{(0)} = \sum_{m \neq 0} \frac{[\hat{H}_m, \hat{H}_m]}{2m\Omega} + [\hat{i}\hat{\lambda}_0^{(0)}, \hat{H}_0].$$

またおどし。

$$\hat{H}_{\text{eff}} = \hat{H}_0 + \sum_{m \neq 0} \frac{[\hat{H}_m, \hat{H}_0]}{2m\omega} + [\hat{\lambda}_0^{(n)}, \hat{H}_0] + \dots$$

$\hat{\lambda}_0$ が実数か？

→ \hat{H}_{eff} の固有ベクトルは何でも $\hat{\lambda}_0$ で比例関係。

$$\hat{V}(t_0) = 1 \Leftrightarrow \hat{\lambda}(t_0) = 0 \quad \text{すなはち} \quad \hat{H}_{\text{eff}} = F(t_0) \text{ で確定}.$$

$$\hat{\lambda}_0^{(n)} + \sum_{m \neq 0} \hat{\lambda}_m^{(n)} e^{-\lambda m \Delta t} = 0$$

= フローネル = Floquet - Magnus 展開 ≈ 0 が成り立つ。

- 他、他の $\hat{\lambda}_0$ の選択方法も 固有値は
(t_0 と $t_0 + \frac{1}{\Delta t}$ の範囲内では) 同じ。

$$\hat{\lambda}_0^{(n)} = 0 \quad \text{とする} \rightarrow \text{一番} \rightarrow \text{が最も簡単}.$$

(van Vleck 展開)

• van Vleck 展開と比較

$$\hat{H}_{\text{eff}} |\psi_x\rangle = \epsilon_x |\psi_x\rangle \text{ です}$$

$$\text{Floquet} \text{ が} \hat{\lambda}_0^{(n)} \text{ は} |\psi_x(t)\rangle = e^{-i\hat{\lambda}(n)t} |\psi_x\rangle e^{-i\hat{E}t}.$$

Floquet 演算子の期待値

$$\langle \psi_x(t) | \hat{O} | \psi_x(t) \rangle = \langle \psi_x | e^{i\hat{\lambda}(n)t} \hat{O} e^{-i\hat{\lambda}(n)t} | \psi_x \rangle.$$

$$\overline{e^{i\hat{\lambda}(n)t} \hat{O} e^{-i\hat{\lambda}(n)t}} = \hat{O} + \overline{[\hat{\lambda}(n), \hat{O}]} + \frac{1}{2!} \overline{[\hat{\lambda}(n), [\hat{\lambda}(n), \hat{O}]]}$$

$$[\hat{\lambda}_0^{(n)}, \hat{O}] \xrightarrow{\text{van Vleck 展開}} 0 \quad (\propto \Omega^2).$$

van Vleck 展開では常にゼロ。

§ 3 Floquet Engineering I

「物質 + V- μ -電場」への Floquet 理論の応用.

セント P_ug_o のモデル化

(オーディオ計算に Floquet 理論と組み合わせるのは既述難い)

→ タイトバンディング模型.

$$\hat{H} = \sum_{ij\sigma} \sum_{mn'} t_{ij}^{mn'} c_{im\sigma}^\dagger c_{jn'\sigma}$$

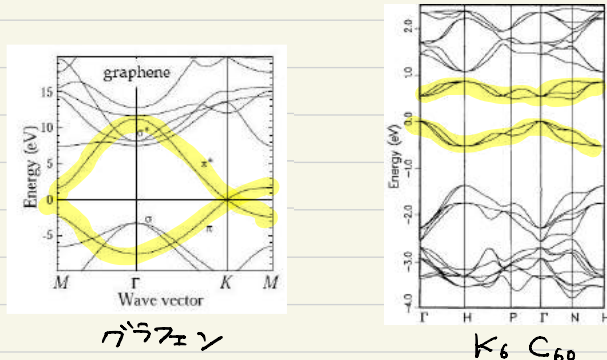
i: 格子点を指定するラベル ($i = R_i$)

m: 格子点上の原子軌道のラベル. (Wannier関数)

σ : スピン.

$t_{ij}^{mn'} =$ ハウゼンバーグ振幅 ($\propto e^{-kR}$)

ホウゼンバーグはオーディオ計算で得られるハンド構造を再現するように進化 (wannier90で計算できる)



- アーチ曲率度は無視されている。
- モデルから除外した軌道への(電場による)遷移も無視することになる。

$1 - \frac{1}{2}E_0^2 - \frac{1}{2}\frac{E_0^2}{\Omega}$

$$C \quad |E = \frac{1}{2} (|E_0 e^{-i\omega t} + |E_0^* e^{i\omega t})$$

$$A_l = \frac{1}{2} \left(\frac{i|E_0}{\Omega} e^{-i\omega t} - \frac{|E_0^*}{\Omega} e^{i\omega t} \right), \quad \phi = 0.$$

- 本来は $e^{i k \cdot r}$ が λ と k を無視する ($\lambda \gtrsim 100 \text{ nm}$)
- 併せて $|B = \frac{i}{2\Omega} k \times |E_0 e^{-i\omega t} + \text{c.c.}$ も無視.

電場の導入

$$\hat{p} \rightarrow \hat{p} + e A_l \quad (= \text{相当する操作}) \quad (\text{以後 } e=1)$$

Poisson substitution

$$t_{\vec{n}\vec{j}}^{mm'} \rightarrow t_{\vec{n}\vec{j}}^{mm'} e^{-i A \cdot (R_n - R_j)}$$

(A の空間依存性が無視できる場合)

$$\therefore \hat{C}_i^+ \hat{C}_j^- = \hat{C}_i^+ e^{-(R_i - R_j) \cdot \nabla} \hat{C}_j^- = \hat{C}_i^+ e^{-i \hat{p} \cdot (R_i - R_j)} \hat{C}_i^+$$

- A_l を使う記述を velocity $\vec{v} - \vec{z}$ とする.

ϕ を使う記述 length $\vec{r} - \vec{z} - \vec{z}'$ は

$$\hat{H} \rightarrow \hat{H} + \sum_{m\sigma} |E \cdot |R_i \hat{C}_{im\sigma}^+ \hat{C}_{im\sigma}^-$$

- 原子内の電気双極子遷移 (同一軌道内と軌道間遷移) 等は無視せんぞ.

$$- |E \cdot |D_{mn}| \hat{C}_{mn}^+ \hat{C}_{mn}^- , \quad |D_{mn}| = \int d^3r w_m^+ \vec{r} w_m^-$$

⟨⟩ 動的局在現象

1次元, 1動量, $\lambda \tau^{\circ}$ は無視. $R\lambda = \lambda$

$$\hat{H}(t) = -\tau \sum_{j=1}^L (e^{\lambda A(t)} \hat{c}_j^+ \hat{c}_{j+1} + e^{-\lambda A(t)} \hat{c}_{j+1}^+ \hat{c}_j)$$

$$\text{固期境界} \quad \hat{C}_{L+1} = \hat{C}_1$$

離散 Fourier 変換

$$\hat{C}_k := \frac{1}{\sqrt{L}} \sum_{j=1}^L e^{-2\pi i k n_j / L} \hat{c}_j, \quad k_n \in \mathbb{Z}$$

$$\Rightarrow \hat{c}_j = \frac{1}{\sqrt{L}} \sum_{k_n=1}^L e^{2\pi i k n_j / L} \hat{C}_k.$$

$$\begin{aligned} \hat{H}(t) &= -\tau \sum_{j=1}^L e^{\lambda A(t)} \hat{c}_j^+ \underbrace{\frac{1}{\sqrt{L}} \sum_{k_n=1}^L}_{\text{H.c.}} e^{2\pi i k n_j / L} \underbrace{\hat{C}_k^+}_{\text{H.c.}} + \text{H.c.} \\ &= -\tau \sum_{k_n=1}^L e^{\lambda (k + A(t))} \hat{c}_k^+ \hat{c}_k + \text{H.c.} \end{aligned}$$

Jacob-Bi-Anger 恒等式

Bessel 関数

$$\exp\left(\frac{w}{2}(z-z^{-1})\right) = \sum_{m=-\infty}^{\infty} J_m(w) z^m$$

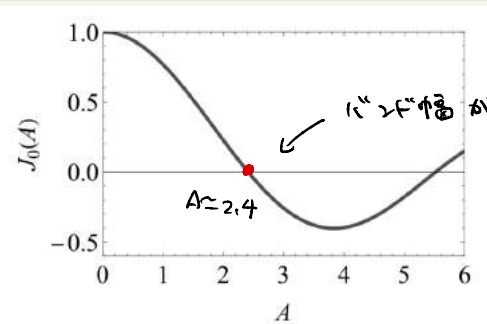
$$z = ie^{\lambda/2t} e^{-\lambda' t} e^{\lambda' t} = e^{i w \cos \lambda t}$$

$$\rightarrow e^{\lambda(k + A_0 \cos \lambda t)} = \sum_{m=-\infty}^{\infty} J_m(A_0) i^m e^{i m \lambda t}$$

$$\text{特例. } \hat{H}_0 = -\tau \sum_k J_0(A_0) e^{\lambda k} \hat{c}_k^+ \hat{c}_k + \text{H.c.}$$

$$= -2\tau \sum_k J_0(A_0) \cos k \hat{c}_k^+ \hat{c}_k.$$

→ “ハンド中高” $J_0(A_0)$ は零である。



バンド幅がゼロになると(格子の分散が消失).

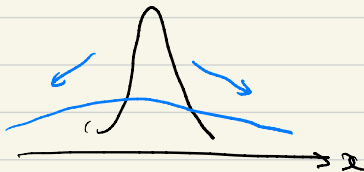
Comments

今の場合 $[\hat{H}_m, \hat{H}_{m'}] = 0$ が常に成立.

$\hat{H}_{\text{eff}} = \hat{H}_0$ が厳密に成り立つ.

一般の格子においても高周波極限が普遍的な性質である.

- $A_0 = \frac{e E_0 \alpha}{4 \Omega}$ ここで Ω も E_0 も非常に下ま.



波束の拡散が外場の印加で
無限に遅くなる(局在)

1日目のまとめ

$$\hat{H}(t) = \hat{H}(t+T) \quad \text{a.c.t.}$$

- $\hat{U}(t_0 + nT, t_0) = [\hat{U}(t_0 + T, t_0)]^n = e^{-\hat{\lambda} \hat{H} nT}$
- Floquetの定理 $\begin{cases} |\psi_\alpha(t)\rangle = |v_\alpha(t)\rangle e^{-iE_\alpha t} & \xrightarrow{t=t_0+nT} \\ |v_\alpha(t+T)\rangle = |v_\alpha(t)\rangle \end{cases}$ Fourier
- Sombe 空間 $(\hat{H} - \mu \Omega) |v_\alpha\rangle = \epsilon_\alpha |v_\alpha\rangle$.
- 高周波展開

$\Omega \rightarrow \infty$ のとき 逐次的 ブローリ 定角化

$$\rightarrow \hat{H}_{\text{eff}} = \hat{H}_0 + \sum_{m=-\infty}^{\infty} \frac{[\hat{H}_{-m}, \hat{H}_m]}{2m\Omega}$$

ナットル インテグラン モードの AC 電圧

$$\hat{f}_l(t) = \sum_{ij} t_{ij} e^{-i\lambda l \cdot (UR_i - UR_j)} \hat{c}_i^+ \hat{c}_j^-$$

- 動的局在現象

$$\frac{e^{i A_0 \cos \omega t}}{e^{i A_0 \cos \omega t}} = J_0(A_0)$$

$$A_0 = \frac{e E_0 q}{\hbar \omega} \approx 2.4 \text{ a.c.t.}, \text{ 1" と "6" 平均になる.}$$

(補足 1) 高音素資料 \sim 4-7 & RMP 1 に追加.

Eckhardt RMP 89, 014004 (2017)

Rudner, Lindner arXiv:2003.08252

Oka, Tsumura Ann. Rev. Cmp. 10, 387 (2019)

Aoki et al. RMP 86, 779 (2014)

Mori arXiv: 2203.16358

佐藤正寛 物性研究会 10 (2022)

$$(\text{補足 2}) \quad e^{\hat{A}(t)} (\hat{H}(t) - i\partial_t) e^{-\hat{A}(t)} = \hat{H}_{\text{eff}}$$

$$\rightarrow e^{i\hat{L}} (\hat{H} - i\hat{M}\Omega) e^{-i\hat{L}} = \hat{H}_{\text{eff}} \otimes 1 - i\hat{M}\Omega \text{ の導出}$$

$$[\hat{A}]_{m,n} = \hat{A}_{mn} \text{ の定義による},$$

$$[\hat{A} \hat{B}]_{m,n} = \sum_e [\hat{A}]_{m,e} [\hat{B}]_{e,n} = \sum_{m-n-l} \hat{A}_{m-e} \hat{B}_{e-n-l}$$

$$= \int_0^T dt \hat{A}(t) \hat{B}(t) e^{i(m-n-l)t}$$

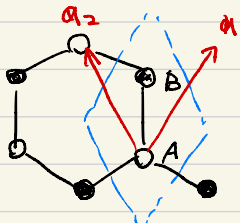
$$\therefore \int_0^T dt e^{i\hat{A}(t)} \hat{H}(t) e^{-i\hat{A}(t)} e^{i(m-n)t} = [e^{i\hat{L}} \hat{H} e^{-i\hat{L}}]_{m,n}.$$

代入.

$$\begin{aligned} & \int_0^T dt \left[e^{i\hat{A}(t)} i\partial_t e^{-i\hat{A}(t)} \right] e^{i(m-n)t} \\ &= \int_0^T dt \left[e^{i\hat{A}(t)} i\partial_t \left(\sum_e [e^{i\hat{L}}]_{e,n} e^{-i(e-n)t} \right) \right] e^{i(m-n)t} \\ &= \sum_e [e^{i\hat{L}}]_{m,e} (e-n)\Omega [e^{i\hat{L}}]_{e,n} \\ &= [e^{i\hat{L}} [\hat{M}\Omega, e^{-i\hat{L}}]]_{m,n} \\ &= [e^{i\hat{L}} \hat{M}\Omega e^{-i\hat{L}} - \hat{M}\Omega]_{m,n}. \end{aligned}$$

◇ Floquet トポロジカル系緑体

$\lambda = \text{カム不等子上の } 1\text{-轨道 模型} \quad (\gamma \rightarrow \infty)$



$$A + 1\text{-轨道位置} = R_A = n_1 \alpha_1 + m_1 \alpha_2$$

$$B + 1\text{-轨道位置} = R_B = n_1 \alpha_1 + m_1 \alpha_2 + \alpha_{12}$$

$$\begin{aligned} \hat{H} = \tau \sum_{\vec{k}, j} & \left[e^{-i\vec{A} \cdot (R_A - R_j)} \hat{a}_j^\dagger \hat{b}_j + \text{H.c.} \right] \\ & \times (\delta_{n_1, n_j} \delta_{m_1, m_j} + \delta_{n_1, n_j-1} \delta_{m_1, m_j} + \delta_{n_1, n_j} \delta_{m_1, m_j-1}) \\ & + m \sum_{\vec{k}} (\hat{a}_{\vec{k}}^\dagger \hat{a}_{\vec{k}} - \hat{b}_{\vec{k}}^\dagger \hat{b}_{\vec{k}}). \end{aligned}$$

$\hat{a}_{\vec{n}}, \hat{b}_{\vec{n}}$ を 2 次元空間 Fourier 变換 $c = a, b \leftrightarrow$

$$\hat{c}_{\vec{k}} = \frac{1}{L} \sum_{n_1=1}^L \sum_{m_1=1}^L e^{-2\pi i (n_1 k_1 + m_1 k_2)/L} \hat{c}_{\vec{k}}$$

$$(\alpha_1 \cdot b_j = 2\pi \delta_{n_j} \leftrightarrow, k = \frac{p_k}{L} b_1 + \frac{q_k}{L} b_2)$$

$$\rightarrow \hat{c}_{\vec{n}} = \frac{1}{L} \sum_{k_1=1}^L \sum_{k_2=1}^L e^{2\pi i (n_1 k_1 + m_1 k_2)/L} \hat{c}_{\vec{k}}$$

↑ 一般には $i(k_1 - R_A) \approx i(k_1 - R_B)$

$$\text{例えば} \sum_{\vec{j}} e^{-i\vec{A} \cdot (R_A - R_j)} \hat{a}_{\vec{j}}^\dagger \hat{b}_j \delta_{n_1, n_j-1} \delta_{m_1, m_j}$$

$$= \sum_{\vec{k}, j} e^{i\vec{A} \cdot (\alpha_1 + \alpha_{12})} \left(\frac{1}{L} \sum_{k_1=1}^L \sum_{k_2=1}^L e^{-2\pi i (n_1 k_1 + m_1 k_2)/L} \hat{a}_{\vec{k}}^\dagger \right) \hat{b}_j$$

$$= \sum_{\vec{k}} e^{i\vec{A} \cdot (\alpha_1 + \alpha_{12})} e^{i(k_1 - \alpha_1)} \hat{a}_{\vec{k}}^\dagger \hat{b}_{\vec{k}}$$

$$\begin{aligned} \rightarrow \hat{H} = \sum_{\vec{k}} & \tau \hat{a}_{\vec{k}}^\dagger \hat{b}_{\vec{k}} e^{i\vec{A} \cdot (\alpha_1 + \alpha_{12})} (1 + e^{i(k_1 - \alpha_1) - \alpha_1} + e^{i(k_1 - \alpha_1) - \alpha_2}) \\ & + \text{H.c.} + m \sum_{\vec{k}} (\hat{a}_{\vec{k}}^\dagger \hat{a}_{\vec{k}} - \hat{b}_{\vec{k}}^\dagger \hat{b}_{\vec{k}}) \end{aligned}$$

行列式形式にまとめると、

$$\hat{H} = \sum_{\mathbf{k}} \left(\begin{pmatrix} \hat{a}_{\mathbf{k}} \\ \hat{b}_{\mathbf{k}} \end{pmatrix}^{\dagger} \begin{pmatrix} m & \tau f(\mathbf{k} + \mathbf{A}) e^{-i\mathbf{k} \cdot (\mathbf{c}_1)} \\ c.c. & -m \end{pmatrix} \right) \left(\begin{pmatrix} \hat{a}_{\mathbf{k}} \\ \hat{b}_{\mathbf{k}} \end{pmatrix} \right)$$

$$f(\mathbf{k}) = e^{i\mathbf{k} \cdot (\mathbf{c}_1)} + e^{i\mathbf{k} \cdot (-\frac{1}{2}, \frac{\sqrt{3}}{2})} + e^{i\mathbf{k} \cdot (-\frac{1}{2}, -\frac{\sqrt{3}}{2})}$$

まずは平衡点 ($A(t) = 0$) の場合について。

算出方法

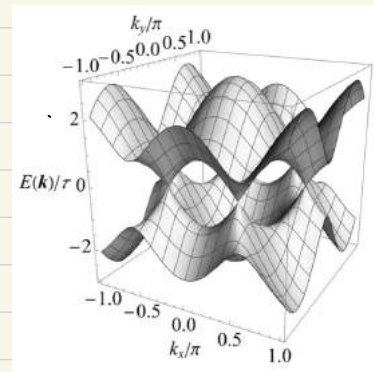
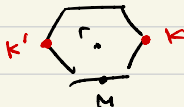
入力

2×2 行列 H は一般に $H = d_0 \sigma_0 + d \cdot \sigma$ の形に表される。

$$\text{固有値は } E_{\pm} = d_0 \pm |d|$$

$$\text{今の場合には } E_{\pm}(\mathbf{k}) = \sqrt{m^2 + \tau^2 |f(\mathbf{k})|^2}$$

BZ の端 $\mathbf{k} = \pm \mathbf{k} = \pm \frac{1}{3} (b_1 - b_2)$ で $E_{+} - E_{-}$ が最小値をとる。



$$f(\pm \mathbf{k} + \mathbf{k}) \approx \frac{3}{2} (\mp k_x + i k_y) + O(k^2) \quad \leftarrow \pm \mathbf{k}^2 \text{ 同じ形}.$$

$$E_{\pm}(\pm \mathbf{k} + \mathbf{k}) \approx \sqrt{m^2 + \frac{9c^2}{4} k^2} \quad \leftarrow \pm \mathbf{k}^2 \text{ 同じ形}.$$

$H = d_0 + d \cdot \sigma$ の 固有ベクトル

$\rightarrow d$ は 平行 / 反平行な 擬定スビン.

トポロジー

$k = (k_x, k_y)$ が B 内を動き回るとき、

擬定スビンの値が つねに 立体角を産える。

$\rightarrow B$ の端で 周期性をみ出すの？

立体角は必ず 4π の 整数倍 になる。

これは $d(k)/|d(k)|$ が k (周期)

をめぐらかず 関数が ある限り は 値が変わらない。

(トポロジカル 不变量) もうアガ開いてるとき値が変わら。

$$H = \begin{pmatrix} m & \frac{3}{2}\pi(\hat{k}_x + \lambda k_y) \\ c.c. & -m \end{pmatrix} \quad \text{場合},$$

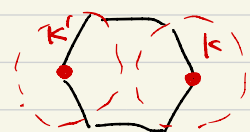
$$d = \left(\frac{3}{2}\pi k_x, -\frac{3}{2}\pi k_y, m \right)$$

$$\text{立体角 } \Lambda = \int d^2k \frac{d \cdot (\partial k_x d \times \partial k_y d)}{|d|^3}$$

$$= \int d^2k \frac{\pm \frac{9}{4}\pi^2 m}{(m^2 + \frac{9}{4}\pi^2 k^2)^{3/2}}$$

$$= \int_0^\infty dk \frac{\pm \frac{9}{4}\pi^2 m}{(m^2 + \frac{9}{4}\pi^2 k^2)^{3/2}}$$

$$= \left[-2\pi \frac{\pm m}{(m^2 + \frac{9}{4}\pi^2 k^2)^{1/2}} \right]_0^\infty = \mp 2\pi \operatorname{sgn} m$$



$\rightarrow k = \pm K$ からの 寄与 は もうでいい 立体角 0 になる。
(トポロジカルに 明)

• Floquet Engineering は $\pm \Omega$ による \tilde{A} の制御

外場 E_0 由偏光 E 入射 $E = A_0 (\cos \Omega t, \sin \Omega t)$ の

振子数 n

- $\pm \Omega$ 正上

- $\pm \Omega$ 近傍 \wedge 線形分散 $\frac{d\omega}{d\Omega}$

- 構造系

の \tilde{A} は見なす

$$\begin{aligned} f(\pm \Omega + k + \Omega) &\approx \frac{3}{2} [\mp(k_x + \Lambda_x) + i(k_y + \Lambda_y)] \\ &= \frac{3}{2} (\mp k_x + i k_y \mp \Lambda_0 e^{\mp i \Omega t}) \end{aligned}$$

$$\hat{H}_f^{\pm} (= \hat{H} = 0 \text{ or } \pm)$$

$$\hat{H}(k, t) = \begin{pmatrix} m & -\frac{3}{2}\Omega A_0 e^{-i\Omega t} \\ -\frac{3}{2}\Omega A_0 e^{i\Omega t} & -m \end{pmatrix}$$

$$\hat{H}(-k, t) = \begin{pmatrix} m & \frac{3}{2}\Omega A_0 e^{i\Omega t} \\ \frac{3}{2}\Omega A_0 e^{-i\Omega t} & -m \end{pmatrix}.$$

Samebe 空間表示

$$\hat{H}(-k) - \Omega =$$

$$\begin{bmatrix} m - \Omega & 0 & 0 & 0 \\ 0 & -m - \Omega & \frac{3}{2}\Omega A_0 & 0 \\ 0 & \frac{3}{2}\Omega A_0 & m & 0 \\ 0 & 0 & 0 & -m \end{bmatrix}$$

$$\hat{H}(+k) - \Omega =$$

$$\begin{bmatrix} m - \Omega & 0 & -\frac{3}{2}\Omega A_0 & 0 \\ -m - \Omega & 0 & 0 & \frac{3}{2}\Omega A_0 \\ 0 & m & 0 & 0 \\ \frac{3}{2}\Omega A_0 & 0 & 0 & -m - \Omega \end{bmatrix}$$

$$\hat{H}(+k) - \hat{M}\Omega = \bigoplus_n \begin{pmatrix} m + (n-1)\Omega & -\frac{3}{2}\tau A_0 \\ -\frac{3}{2}\tau A_0 & -m+n\Omega \end{pmatrix}$$

$$\hat{H}(-k) - \hat{M}\Omega = \bigoplus_n \begin{pmatrix} -m + (n-1)\Omega & \frac{3}{2}\tau A_0 \\ \frac{3}{2}\tau A_0 & m+n\Omega \end{pmatrix}.$$

$$E_{\pm}(+k) = \pm \frac{\Omega}{2} \pm \sqrt{(m - \frac{\Omega}{2})^2 + \frac{9}{4}\tau^2 A_0^2} \quad + n\Omega$$

$$E_{\pm}(-k) = \pm \frac{\Omega}{2} \pm \sqrt{(m + \frac{\Omega}{2})^2 + \frac{9}{4}\tau^2 A_0^2} \quad + n\Omega$$

↑ Ω の不定性, $m = A_0 = 0$ のとき E は常に $\pm \frac{\Omega}{2}$

ただし、この状況下の条件

$$(m \mp \frac{\Omega}{2})^2 + \frac{9}{4}\tau^2 A_0^2 = \frac{\Omega^2}{4}$$

$$\Leftrightarrow A_0 = \frac{2}{3\tau} \sqrt{m(-m \pm \Omega)}$$

→ これは $m = 0$ のときに限り常に E が一定である。

• $k \neq 0$ (但し 小さな) α のとき

$\rightarrow f(\pm k + k + A) \approx \frac{3}{2} (\mp kx + iky + A_0 e^{\mp i\omega t})$ を使って

高周波展開を計算

$$\hat{H}_0(\pm k + k) = \begin{pmatrix} m & \frac{3\pi}{2}(\mp kx + iky) \\ c.c. & -m \end{pmatrix}$$

$$\hat{H}_{\pm 1}(\pm k + k) = \begin{pmatrix} 0 & \mp \frac{3\pi}{2} A_0 \\ 0 & 0 \end{pmatrix}, \quad \hat{H}_{\mp 1}(\pm k + k) = \begin{pmatrix} 0 & 0 \\ \mp \frac{3\pi}{2} A_0 & 0 \end{pmatrix}$$

$$\begin{aligned} \hat{H}_{\text{eff}} &= \hat{H}_0 + \frac{[\hat{H}_{+1}, \hat{H}_{-1}]}{-2\Omega} + \frac{[\hat{H}_{\mp 1}, \hat{H}_{\pm 1}]}{2\Omega} \\ &= \hat{H}_0 \pm \frac{[\hat{H}_{\mp 1}, \hat{H}_{\pm 1}]}{\Omega}. \end{aligned}$$

$$[(\begin{smallmatrix} 0 & 0 \\ 1 & 0 \end{smallmatrix}), (\begin{smallmatrix} 0 & 1 \\ 0 & 0 \end{smallmatrix})] = (\begin{smallmatrix} -1 & 0 \\ 0 & 1 \end{smallmatrix}) \text{ で } q$$

$$\hat{H}_{\text{eff}} = \begin{pmatrix} m & \frac{3\pi}{2}(\mp kx + iky) \\ c.c. & -m \end{pmatrix} \mp \frac{9\pi^2 A_0^2}{4\Omega} \begin{pmatrix} 1 & 0 \\ 0 & -1 \end{pmatrix}$$

$$A = \text{area } d \wedge \hat{d} = d/|d| \wedge \text{立体角} \text{ は } \Lambda = \sum_i \mp 2\pi \operatorname{sgn} m = 0.$$

$$\rightarrow \frac{1}{\Omega} \text{の補正項があると, } \Lambda = \sum_i \mp 2\pi \operatorname{sgn} \left(m \mp \frac{9\pi^2 A_0^2}{4\Omega} \right)$$

$$m \neq 0 \text{ かつ } \Omega \neq 0 \text{ ならば, } \Lambda = 4\pi \operatorname{sgn} \Omega \neq 0$$

\rightarrow 光偏光によって バンドのトポロジーが変わる!

格子模型 と 2 の補正項の意味

$$\hat{H}(t_1) = \sum_{ij} t_{ij} \hat{a}_i^+ \hat{b}_j^- e^{-i\Delta t - (R_i - R_j)} + H.c.$$

$$A(t) = \frac{1}{2} A(0) e^{-i\Delta t} + \frac{1}{2} A(0)^* e^{i\Delta t}$$

$$\hat{H}_0 \approx \sum_{ij} t_{ij} \hat{a}_i^+ \hat{b}_j^- + H.c.$$

$$\hat{H}_1 = \hat{H}_{-1}^+ \approx \sum_{ijk} (-i t_{ij} \hat{a}_i^+ \hat{b}_j^- + H.c.) \times \frac{1}{2} A(0) \cdot (R_i - R_j)$$

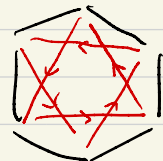
$$[\hat{a}_i^+ \hat{b}_i^-, \hat{b}_j^+ \hat{a}_k^-] = \delta_{jk} \hat{a}_i^+ \hat{a}_k^- - \delta_{ik} \hat{b}_j^+ \hat{b}_k^-.$$

$$\rightarrow \frac{[\hat{H}_{-1}, \hat{H}_1]}{\Omega} \approx \sum_{ijk} \frac{t_{ij} t_{jk}}{4\Omega} (A(0) \times A(0)^*) \cdot (\underline{R_{ij} \times R_{jk}}) (\hat{a}_i^+ \hat{a}_k^- + \hat{b}_i^+ \hat{b}_k^-)$$

純虚数 次近接項

Haldane or Chern 絶縁体 模型.

$$C = \frac{e}{4\pi} \text{ は Hall 伝導度の量子化.}$$



トポロジーとエントリ状態.

$d(\epsilon_k)$ が“なめらかな関数”であるとき、 $C = \frac{e}{4\pi}$ の値は不变.

\rightarrow もし、 γ が“閉じた” $d(\epsilon_k) = 0$ に沿うと

それが定義されないと、 C の値が変わる.

$\rightarrow C \neq 0$ の系と $C = 0$ の系 (or 真空) を接合すると
モーノレスの状態が境界 (= C 値) で現れる.

エントリが電子系の Floquet 有効ハミルトン $= P$ で

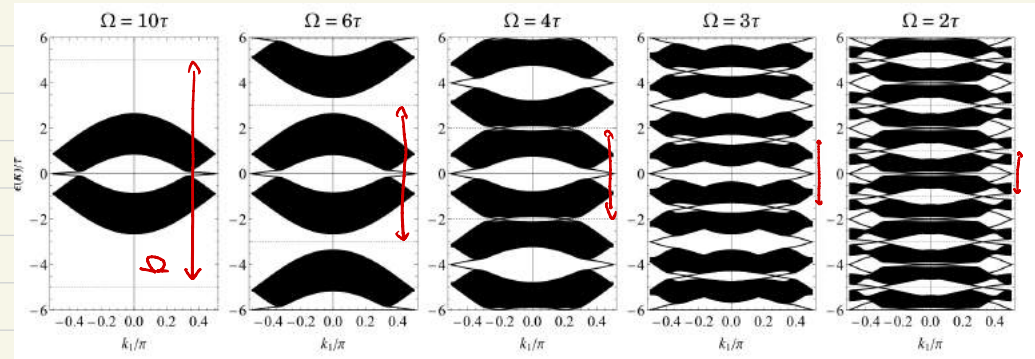
(数値的に) 計算して対角化すると、

モーノレス状態が現れる.

◇ 黑帝 Floquet トポロジカル絶縁体
(ϵ 平衡系には存在しない相).

クラフエン + 田舎光

Ω を小さくしてみるとどうなるか?



- フォト子数の異なるバンド同士が進位反発する。
- これは電子エネルギーギャップもトポロジカルになつてゐる。

(同期境界条件のもとで計算した Chern 数)

$$= (\epsilon = 0 \text{ を通すエジミヤク態数}) - (\epsilon = \frac{\Omega}{\pi} \text{ を通すエジミヤク態数})$$

× 向き

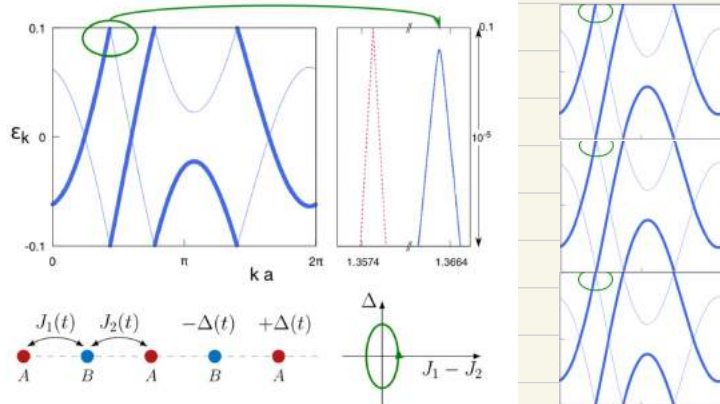
↑
実際は独立なトポロジカル数。

後者は平衡系では絶対に出でない状態。

* エジミヤク態は出でるか、それがどうか分布に従うかは非自明な問題。

その他 Floquet 系 特有の性質の一例

Thouless pumping



PRL 120, 106601 から借用

(1D) Rice-Mele model で“a Thouless pumping”

$\Omega \neq 0$ の 案内エネルギー入出力では上図のように普通の意味での k に関する周期性を満たしていない。(於 断熱極限)。

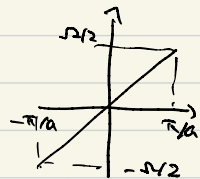
材料系には

$$\hat{U}(t_0, T, t_0) = e^{-i\frac{\Omega}{2}ka} \quad \text{かつ} \quad \hat{H}_{\text{eff}} = \frac{ka}{T} = \frac{ka}{2\pi} \Omega$$

などは毛根系では実現不可能

Floquet 系では実現可能

cf.) Nielsen-Ninomiya 定理



4. 周期駆動系の統計力学

運動方程式

$$i \frac{\partial}{\partial t} |\psi(t)\rangle = \hat{H} |\psi(t)\rangle \rightarrow P_{can} = e^{-\beta \hat{H}} / \text{Tr } e^{-\beta \hat{H}}$$

平衡統計力学

Floquet 系の場合?

- ① $t = t_0 + nT$ の場合に着目する。 $\hat{H} = \hat{F} = i\tau^{-1} (\ln U(t_0 + T, t_0))$ と等価。
 $\rightarrow P = e^{-\beta \hat{F}} / \text{Tr } e^{-\beta \hat{F}}$?
 $\rightarrow \hat{F}$ は mod Ω で "固有値" 定まるか? 不定?

② 内部エネルギー変化

$$\frac{d}{dt} \langle H(t) \rangle = \frac{d}{dt} \text{Tr} [\rho(t) H(t)] = \text{Tr} \left[-i [\psi(t), \rho(t)] H(t) \right] + \text{Tr} [\rho(t) \frac{\partial H}{\partial t}] \\ = \langle \frac{\partial H}{\partial t} \rangle = \langle \frac{\partial A_t}{\partial t} \rangle = \langle J \rangle \cdot E \sim \sigma E^2$$

電場を $E(t) \rightarrow$ すると 内部エネルギーは上昇 \rightarrow "発熱" だ。

\rightarrow Floquet 有効ハミルトンによると何が起こる?

① $t = \tau \tau \tau$

時間発展のうえ 平衡化が起こるには \hat{H} が条件が必要。
 (+他の条件としては ETH を満たすこと等)

② $t = \tau \tau \tau$

多体系の Floquet 有効ハミルトンの固有状態と
 複雑度計算すると ("カスケード" と "物理量" の値は
 無限温度の値に収束して) 整合する。

ただし 有効ハミルトンには特徴があるわけではなく、
 駆動展開したものと差分は小さい。(ここで見る)

\rightarrow 一般には τ -スパイク- τ 分布を決める必要がある
 (基本的には未解決問題)

4.1 対角 $\hat{P} = \hat{\rho} = \hat{\rho}^{\dagger}$

でも $\hat{\rho}(t)(\psi) = \hat{\rho}(t)\psi \rightarrow \rho = e^{-\beta t} / (\pi e^{-\beta t})$
は本当に成り立つのか?

cf) 量子飛行 $\frac{1}{\hbar} \frac{1}{2m} p^2$ から運動力学が決まるへ

統計平均を考えたところ、 $\langle \psi(t) \rangle$ の代わりに $\hat{\rho}(t)$ を考えよ。

$$\hat{\rho}(t) = \sum_{\alpha} \underbrace{\langle \psi(t) \rangle}_{\hat{U}(t, t_0) | \psi(t_0) \rangle} \langle \psi_{\alpha} | C_{\alpha}.$$

\rightarrow Liouville eq. $i\partial_t \hat{\rho}(t) = [\hat{H}(t), \hat{\rho}(t)]$

飛行式解 $\hat{\rho}(t) = \hat{U}(t, t_0) \hat{\rho}(t_0) \hat{U}(t_0, t)^{\dagger}$.

ここで $\hat{\rho}_j$ が時間非依存となる。

$$\hat{U}(t, t_0) = \sum_{\alpha} |u_{\alpha}\rangle \langle u_{\alpha}| e^{-iE_{\alpha}(t-t_0)}$$

$$\therefore \hat{\rho}(t) = \sum_{\alpha\beta} |u_{\alpha}\rangle \langle u_{\beta}| \underbrace{\langle u_{\alpha} | \hat{\rho}(t_0) | u_{\beta} \rangle}_{C_{\alpha\beta}} e^{-i(E_{\alpha} - E_{\beta})(t-t_0)}$$

$$\text{Tr}[\hat{S} \hat{\rho}(t)] = \sum_{\alpha\beta} \langle u_{\beta} | \hat{\rho}(t) | u_{\alpha} \rangle \underbrace{p_{\alpha\beta}}_{e^{-i(E_{\alpha} - E_{\beta})(t-t_0)}}$$

～ の因子は、 $\beta \neq \alpha$ とき

} 長時間平均で 0.

} 十分時間が経てランダムにならざると思えば実質 0.

なぜか

$$\hat{\rho}(t) \rightarrow \hat{\rho}_{\text{phys}} = \sum_{\alpha} |u_{\alpha}\rangle \langle u_{\alpha}| p_{\alpha\alpha}$$

と置き換えて差し支えない。

* 経過時間はこの意義論の外では定まらない。

* これが熱力学分布一致するかどうかはまた別の話

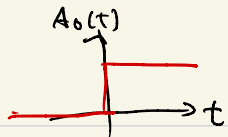
$$\begin{cases} \text{可積分} & \rightarrow \Delta \\ \text{非可積分} & \rightarrow \text{ETH} \end{cases} \rightarrow 0$$

固有期馬区動系の場合は: $t = t_0 + nT$ に限れば
 $\hat{H} \rightarrow \hat{F}$ と置き換える $T \ll t \ll nT$ OK

$$\left[\begin{aligned} \hat{\rho}(t) &= \hat{U}(t, t_0) \hat{\rho}(t_0) \hat{U}(t, t_0)^+ \quad \text{回り} \\ \downarrow \hat{U}(t, t_0) &= \sum_{\alpha} |u_{\alpha}\rangle \langle u_{\alpha}| e^{-iE_{\alpha}(t-t_0)} \\ \downarrow \hat{U}(t_0+nT, t_0) &= \sum_{\alpha} |u_{\alpha}(t_0)\rangle \langle u_{\alpha}(t_0)| e^{-iE_{\alpha}nT} \\ \downarrow \hat{\rho}(t) &= \sum_{\alpha\beta} |u_{\alpha}\rangle \langle u_{\beta}| \rho_{\alpha\beta} e^{-i(E_{\alpha}-E_{\beta})(t-t_0)} \\ \downarrow \hat{\rho}(t_0+nT) &= \sum_{\alpha\beta} |u_{\alpha}(t_0)\rangle \langle u_{\beta}(t_0)| \rho_{\alpha\beta} e^{-i(E_{\alpha}-E_{\beta})nT} \end{aligned} \right]$$

* 一般の多体系では $|u_{\alpha}(t_0)\rangle$ も事实上 \Rightarrow ベクトル。
 矢角アノサンブルへの系緩和はもじろ達成 \leftarrow あってほしい。
 途中で非自明な矢角は長くトランジションする可能性?

\rightarrow (非自明な矢角トランジルを持つことはトランジル)
 + (無限温度的なままである小さな小さな積分) のような形に
 よって"OK" OK.



◇ 独立系の一体問題

$\hat{H}(t)$ 及び \hat{F} の 一体問題で近似計算が可能。

$t \leq t_0$ では $\hat{H}_{\text{eq}}(t) = E_\alpha(t)$ で表される 1 体問題の平均値。

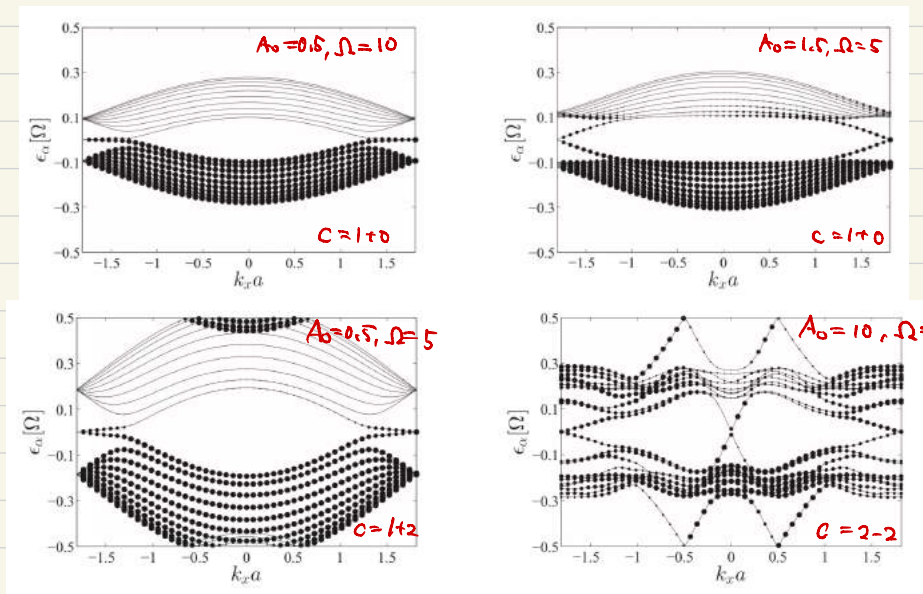
$t = t_0$ 実際 外場と平行にすると、分布は

$$\begin{aligned} & \hat{U}(t, t_0) \left(\sum_{\beta} f(E_\beta) |F(t, \beta)| \right) \hat{U}(t, t_0)^* \\ &= \sum_{\alpha \neq \gamma} f(E_\beta) \langle \psi_\alpha(t_0) | \beta \rangle \langle \beta | \psi_\gamma(t_0) \rangle \langle \psi_\alpha(t_0) | \psi_\gamma(t_0) \rangle \\ &\xrightarrow{\text{時間関数を}\beta\text{に}\alpha\text{に}} \sum_{\beta} f(E_\beta) \underbrace{| \beta \langle \psi_\alpha(t_0) | \beta \rangle |^2}_{f_\alpha} \langle \psi_\alpha(t_0) | \psi_\alpha(t_0) \rangle. \end{aligned}$$

$$f_\alpha = \sum_{\beta} f(E_\beta) |\langle \beta | \psi_\alpha(t_0) \rangle|^2 \quad f_\alpha$$

$|\beta\rangle \in \langle \psi_\alpha(t_0) \rangle$ の近傍内に $f_\alpha \neq f(E_\beta)$ の β ない。

以上で $\epsilon_\alpha(\Omega)$ の偏光分布



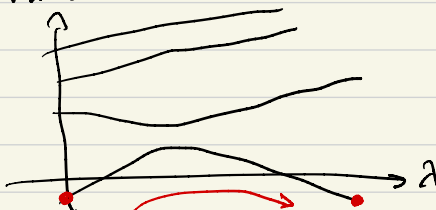
(外場振幅を巾 λ で変化させた場合)

平衡状態の断熱定理 1934-1936 年で巾 λ で変化する：

$$\hat{H}(t) = \hat{H}_{\text{eq}}(\lambda(t)) \quad \text{とくに時間依存 Schrödinger 方程}$$

$$\rightarrow |\psi_{\alpha(t)}\rangle = |\alpha(\lambda(t))\rangle e^{-i \int_0^t E_{\alpha}(\lambda(s)) ds}$$

$E_{\alpha}(t)$



基底状態 \rightarrow 基底状態

(Berry位相は無視 $(T=)$)

Floquet 有効ハミルトン P_n は Hilbert 空間で
有限なら同じことを成り立つ。

(次元が大きくなるほど小さな準位反発が無数に
出現して確定する)

「系のサイズ」を大きくする/エネルギーの範囲を広げると

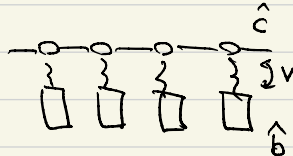
新たに生じた状態 n のエネルギー E_n が $\mod \Omega -$

析り量まで「基底状態」と近いエネルギーを
持つことがあるため。

◇ 開放系 1-体問題

フェルミ子の粒子数を算出する問題。(substrateの上に分子)

$$\hat{H}_{\text{tot}} = \sum_{\alpha} \langle \alpha | \hat{H}_{\text{sys}}(t) | \beta \rangle \hat{c}_{\alpha}^{\dagger} \hat{c}_{\beta} + \sum_{p\alpha} [V_p \hat{c}_{\alpha}^{\dagger} \hat{b}_{ap} + h.c.] + \sum_{p\alpha} \omega_p \hat{b}_{ap}^{\dagger} \hat{b}_{ap}$$



開放系の定式化	量子力学方程式	\hat{p}
	NCF法	G_i^R, G_i^A, G_i^S

今回 1-体問題 $\hat{c}_{\alpha}(t)$ を求める。

$[\hat{c}_{\alpha}(t), \hat{H}_{\text{tot}}(t)]$

Heisenberg 法

↓

$$\left\{ \begin{array}{l} i\partial_t \hat{c}_{\alpha}(t) = \langle \alpha | \hat{H}_{\text{sys}}(t) | \beta \rangle \hat{c}_{\beta}(t) + \sum_p V_p \hat{b}_{ap}(t) \\ i\partial_t \hat{b}_{ap}(t) = V_p^* \hat{c}_{\alpha}(t) + \omega_p \hat{b}_{ap}(t) \end{array} \right.$$

$$\begin{aligned} i\partial_t (\hat{b}_{ap}(t) e^{i\omega_p t}) &= V_p^* \hat{c}_{\alpha}(t) e^{i\omega_p t} \\ \rightarrow \hat{b}_{ap}(t) &= \hat{b}_{ap}(t_0) e^{-i\omega_p(t-t_0)} \\ &\rightarrow V_p^* \int_{t_0}^t dt' \hat{c}_{\alpha}(t') e^{-i\omega_p(t-t')} \end{aligned}$$

$$\begin{aligned} i\partial_t \hat{c}_{\alpha}(t) &= \langle \alpha | \hat{H}_{\text{sys}}(t) | \beta \rangle \hat{c}_{\beta}(t) \\ &- i \sum_p (V_p)^2 \int_{t_0}^t dt' \hat{c}_{\alpha}(t') e^{-i\omega_p(t-t')} \\ &+ \sum_p V_p \hat{b}_{ap}(t_0) e^{-i\omega_p(t-t_0)} \end{aligned}$$

$$= -\omega^2 \sum_p |V_p|^2 e^{-\lambda w_p t} \approx 2 \Gamma \delta(t) \quad \text{であるとすると}$$

(Markov 2nd TX : p の和が w_p 種別に比例する)

$$\dot{\alpha}_t \hat{\psi}_\alpha(t) = \langle \alpha | \hat{H}_{sys}(t) | \beta \rangle \hat{c}_\beta(t) - \dot{\alpha}^\dagger \hat{\psi}_\alpha(t)$$

$$+ \sum_p V_p \hat{b}_{\alpha p}(t_0) e^{-\lambda w_p(t-t_0)}$$

(減衰 + 強制振動)

$$|\psi_\alpha(t)\rangle = |V_\alpha(t)\rangle e^{-\lambda \epsilon_\alpha t}$$

$$\dot{\alpha}_t \langle \psi_\alpha(t) \rangle = \hat{H}_{sys}(t) \langle \psi_\alpha(t) \rangle \in \text{実数},$$

$$\hat{\psi}_\alpha(t) = \sum_p \langle \psi_\alpha(t) | \beta \rangle \hat{c}_\beta(t) \quad \text{を定義すると},$$

$$\begin{aligned} \dot{\alpha}_t \hat{\psi}_\alpha(t) &= \dot{\alpha}_t \cancel{\langle \psi_\alpha(t) | \beta \rangle} \hat{c}_\beta(t) \\ &+ \cancel{\langle \psi_\alpha(t) | \beta \rangle} \left[\cancel{\langle \beta | \hat{H}_{sys}(t) | \beta \rangle} \hat{c}_\beta(t) \right. \\ &\quad \left. - \dot{\alpha}^\dagger \hat{c}_\beta(t) \right] \\ &+ \sum_p V_p \hat{b}_{\alpha p}(t_0) e^{-\lambda w_p(t-t_0)} \end{aligned}$$

$$\dot{\alpha}_t \hat{\psi}_\alpha(t) = -\dot{\alpha}^\dagger \hat{\psi}_\alpha(t) + \sum_{\beta p} \langle \psi_\alpha(t) | \beta \rangle V_p \hat{b}_{\beta p}(t_0) e^{-\lambda w_p(t-t_0)}.$$

$\underbrace{\langle V_{\alpha m} |}_{< V_{\alpha m} |} e^{\lambda (\epsilon_\alpha + m\Omega) t}$

$$\hat{\psi}_\alpha(t) \xrightarrow{t \rightarrow \infty} \sum_{\beta p m} \frac{V_p \langle V_{\alpha m} | \beta \rangle}{w_p - \epsilon_\alpha - m\Omega + i\lambda} \hat{b}_{\beta p}(t_0) e^{i \dots} \quad \text{← } t = t_0 - \tau$$

$$\langle \hat{b}_{\beta p}^\dagger(t_0) \hat{b}_{\alpha p}(t_0) \rangle = f(w_p) \delta_{\beta \alpha} \delta_{p p} \propto \text{常数} \quad \text{birth of } \alpha \text{ が } \alpha + 2'' \text{ で } \hat{\psi}_\alpha(t)$$

$$\overline{\langle \hat{\psi}_\alpha(t) \hat{\psi}_\alpha(t) \rangle} = \sum_{p m} \frac{|V_p|^2 \langle V_{\alpha m} | V_{\alpha m} \rangle}{|w_p - \epsilon_\alpha - m\Omega + i\lambda|^2} f(w_p) \quad \text{← Lorentzian}$$

Markov

$$\approx \sum_m f(\epsilon_\alpha + m\Omega) \langle V_{\alpha m} | V_{\alpha m} \rangle$$

$$\overline{f_\alpha(t)} = \sum_n f(\epsilon_\alpha + n\Omega) \langle V_{\alpha n} | V_{\alpha n} \rangle$$

2月4日 木曜日

Hofstadterトポロジカル絶縁体

円偏光照射によるとグラフェンに

トポロジカルチャージが開く。

→高周波展開すると Haldane 模型。

低周波では「平衡系」にないトポロジカル相
が現れる。ただし応答がどうなるかは?

統計力学

孤立系の熱平衡化問題

- \hat{p} が長時間のうちに(振る)エネルギーに
対角化アンサンブルに帰着する。

→ 一体問題、ケニヤの場合の分布公式

$$f_\alpha = \sum_\beta f_{eq}(E_\beta) |\langle \beta | \psi_\alpha(t_0) \rangle|^2$$

開放系

一体問題の場合、Markov bath などの
不常状態の分布公式

$$f_\alpha = \sum_m f_{eq}(\epsilon_\alpha + m\Omega) |\langle u_{\alpha,m} | u_{\alpha,m} \rangle|^2$$

◇ 孤立系の多体問題

$$\hat{\rho}(t) = e^{-\hat{H}(t-t_0)} \hat{\rho}(t_0) e^{-i\hat{H}(t-t_0)}$$

$$\rightarrow \hat{\rho}_{\text{drag}} = \sum_{\alpha} |u_{\alpha}\rangle \langle u_{\alpha}| \rho_{\alpha}, \quad \rho_{\alpha} = \langle u_{\alpha} | \hat{\rho}(t_0) | u_{\alpha} \rangle$$

- 離子には $e^{-\beta E_{\alpha}} / Z$ +
const. in $[E-\delta E, E+\delta E]$
 Z は T 依存。

固有状態熱化仮説 (ETH)

(局所的下) 物理量 \hat{O} の $|u_{\alpha}\rangle$ の期待値が熱平衡価に一致

$$\langle u_{\alpha} | \hat{O} | u_{\alpha} \rangle = \langle \hat{O} \rangle_{th}$$

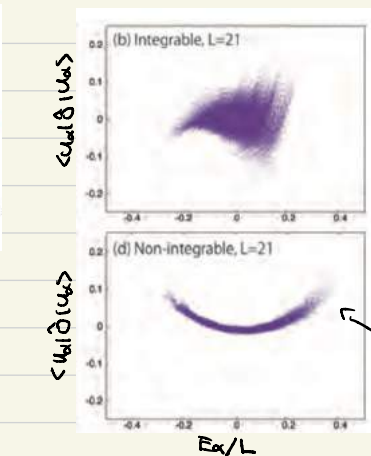
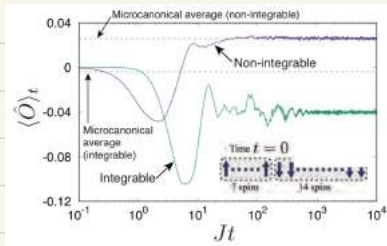
=> すなはち、 $\rho_{\alpha} \neq 0$ となる “離散的” $E_{\alpha} \in [E-\delta E, E+\delta E]$ ~ “固有状態”

$$\text{Tr} [\hat{O} \hat{\rho}_{\text{drag}}] = \sum_{\alpha} \langle u_{\alpha} | \hat{O} | u_{\alpha} \rangle \rho_{\alpha}$$

$$= \langle \hat{O} \rangle_{th} \sum_{\alpha} \rho_{\alpha} = \langle \hat{O} \rangle_{th}.$$

- 級々の非可積分系では成立する (これはなぜ?)

XXZ模型の数値計算



$L \rightarrow \infty$ で一本の曲線は収束する (はず)

Floquet 系の場合：

$\hat{F} = \hat{\alpha} T^{-1} \ln \hat{U}(E_0 + T, t_0)$ の ETI+を満たせば 热平衡化する？

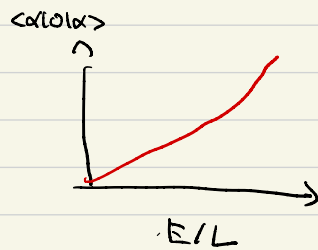
⇒ 热力学的には無限温度状態にならねえ？

Floquet ETH ではの Floquet- \hat{O} (E, $|\psi_\alpha(t)\rangle$) について、

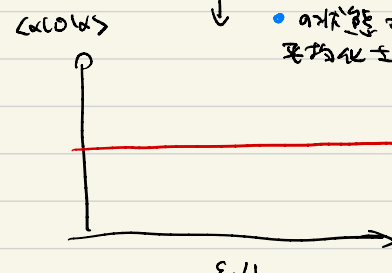
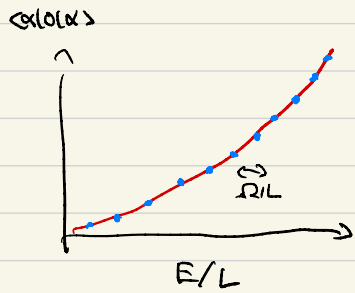
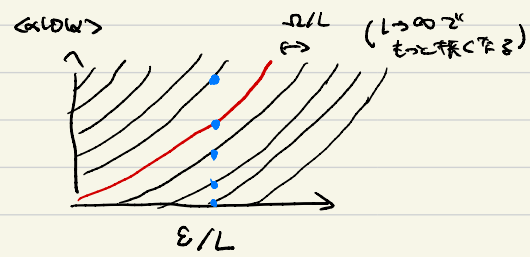
$$\langle \psi_\alpha(E) | \hat{O} | \psi_\alpha(t) \rangle = \langle \hat{O} \rangle_{T=\infty}.$$

一般の非可積分系で成立する（△倍加エネルギー）

($\times - \triangleright$)

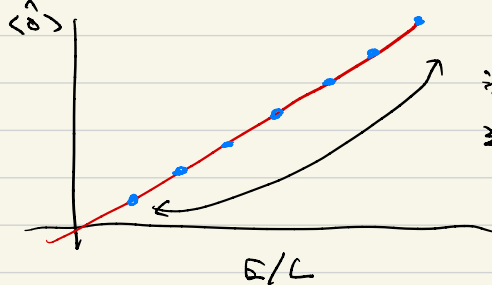


Samebe空間



外場（接続）を加えると、
• 量子力学的運動量を
平均化される

Floquet prethermalization



遷位反発は非常に大きいです。
遷移確率も同様に小さく。

→十分長い時間に渡って
無限温度状態の範囲となる
混成を無視できることある。

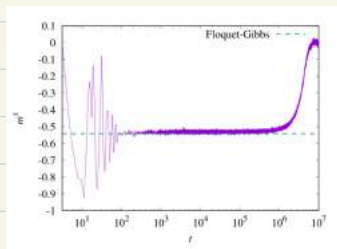
$$\text{ex)} \quad \hat{F} = \hat{F}_{\text{high-frequency}}^{(\leq N)} + \hat{F}_{\text{Fermi}} \\ \left(\hat{F}_0 + \sum_{m=0}^{\infty} \frac{[\hat{F}_{-m}, \hat{F}_m]}{2m\Omega} \right) + \dots \quad O(\frac{1}{\Omega^{N+1}}),$$

無限温度化の要因

高周波展開は無限温度化を意味するわけない,
(= 多体系で収束半径ゼロ)
漸近展開ではあるのだが, \hat{F} のより近似になる
ことはある。

→格子模型への厳密な定理
(heating が $\propto t^{\alpha}$) スケールは $e^{O(\Omega)}$)

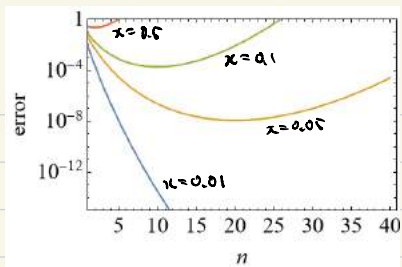
Kuwahara, Mori, Saito
Mori, Kuwahara, Saito
Akbarian et al.



ます " $\hat{F}^{(\leq N)}$ の平行軸能への緩和 (prethermalization)
が起こる, その後無限温度へ向かう。

漸近展開 へおきる。

$$f(x) = \int_0^\infty \frac{e^{-t}}{1+xt} dt \quad (x \geq 0)$$



$$\begin{aligned} f(x) &= \left[-\frac{e^{-t}}{1+xt} \right]_0^\infty + (-x) \int_0^\infty \frac{e^{-t}}{(1+xt)^2} dt \\ &= 1 + (-x) \left[-\frac{e^{-t}}{(1+xt)^2} \right]_0^\infty + (-x)^2 2! \int_0^\infty \frac{e^{-t}}{(1+xt)^3} dt \\ &= \sum_{n=0}^{N-1} (-x)^n n! + (-x)^N N! \int_0^\infty \frac{e^{-t}}{(1+xt)^{N+1}} dt. \end{aligned}$$

x 固定, $N \rightarrow \infty$ の発散, N 固定, $x \rightarrow 0$ の絶対収束.

$$x \sim \frac{1}{N} \text{ のとき, } \left| f(x) - \sum_{n=0}^{N-1} (-x)^n n! \right| \leq x^N N! \leq N^N N! \sim e^{-N}.$$

発散的で展開でも、展開は $x \sim 0$ の「小」近似である。

途中で $\int_0^\infty dt$ の被積分関数はよく近似で取扱うのが普通。

Floquet - Magnus 展開について、一般項の公式

$$F^{(n)} = \sum_{\sigma} \frac{(-1)^{n-\theta_\sigma} \theta_\sigma! (n-\theta_\sigma)!}{i^n (n+1)^2 n! T}$$

$$\times \int_0^T dt_{n+1} \dots \int_0^{t_2} dt_1 [\hat{f}(t_{\sigma_{n+1}}), [\hat{f}(t_{\sigma_n}), \dots [\hat{f}(t_{\sigma_2}), \hat{f}(t_{\sigma_1})] \dots]]$$

$$\theta_\sigma := \sum_{j=1}^n \theta(\sigma_{j+1} - \sigma_j)$$

を不等式評価すると

$$\| F^{(n)} \| \lesssim O(n! (\frac{1}{\Omega})^n) \text{ の各項が} \sim \text{と} \approx \text{です。}$$

$$\rightarrow n_0 = O(\Omega) \Rightarrow \text{誤差} \approx \text{error} \approx \Theta^{-O(\Omega)}$$

(不等式評価の根拠)

$$\hat{H} = \sum \text{ () } : \quad \text{exchange interaction など}.$$

$$\hat{\Pi}_n := [\hat{H}(t_n), \hat{\Pi}_{n-1}], \quad \hat{\Pi}_0 = \hat{H}(t_0) \text{ の } n \text{ 次評価} \text{ すればよい}.$$

* \hat{H} の k 体相互作用などの場合、 $\hat{\Pi}_n$ は高 k cut-off k 体相互作用。

$\sum^{(j)}$ で囲う () を用いて () に制限して和を定義する。

\hat{H} は $\sum^{(j)} \text{ () } : \| \leq g_0$ を満たすと仮定。

$$\text{同様に } \hat{\Pi}_n \text{ は } \sum^{(j)} \text{ () } : \| \leq g_n \quad \text{となる}.$$

$$\| \hat{\Pi}_n \| \leq \sum_{j=1}^n \sum^{(j)} \text{ () } : \| \leq N g_n. \quad \leftarrow \text{なぜか? バンドがまことに?}\right.$$

$$\| [\hat{H}, \hat{\Pi}_{n-1}] \| \leq \sum \sum \text{ () } : \| \leftarrow \begin{array}{l} \text{重なりのない部分} \\ \text{和をとる} \end{array}$$

$$\leq \sum \sum_{j \in \text{ () }} \sum^{(j)} \text{ () } : \|$$

$$\leq 2 \sum \text{ () } : \| \sum_{j \in \text{ () }} \sum^{(j)} \text{ () } : \|$$

$\underbrace{N g_{n-1}}$ $\underbrace{n k}$ $\underbrace{g_0}$

$$\therefore g_n = 2 g_{n-1} n k g_0 = \dots = \underbrace{n!}_{\uparrow} \underbrace{(2k g_0)^n}_{\uparrow \text{高周波のめやす}} g_0.$$

発散の主因。
nk 体相互作用に由来

$$\hat{F}^{(n)} = \sum_{\sigma} \frac{(-1)^{n-\theta_\sigma} \theta_\sigma! (n-\theta_\sigma)!}{i^n (n+1)^2 n! T} \\ \times \int_0^T dt_{n+1} \dots \int_0^{t_2} dt_1 [\hat{A}(t_{\sigma_{n+1}}), [\hat{A}(t_{\sigma_n}), \dots [\hat{A}(t_{\sigma_2}), \hat{A}(t_{\sigma_1})] \dots]]$$

$$\|\hat{F}^{(n)}\| \leq \sum_{\sigma} \underbrace{\frac{\theta_\sigma! (n-\theta_\sigma)!}{c(n+1)^2 n! T}}_{\text{control}} \times \underbrace{\int_0^T dt_{n+1} \dots \int_0^{t_2} dt_1}_{\frac{T^{n+1}}{(n+1)!}} \underbrace{n! (2\pi k g_0)^n g_0}_{\text{前の式}} \\ \leq \frac{1}{(n+1)^2} n! \left(\frac{4\pi k g_0}{\Omega}\right)^n g_0.$$

比例

$$\frac{\frac{1}{(n+1)^2} n! \left(\frac{4\pi k g_0}{\Omega}\right)^n g_0}{\frac{1}{n^2} (n-1)! \left(\frac{4\pi k g_0}{\Omega}\right)^{n-1} g_0} = \frac{1}{(1+\gamma_n)^2} n \frac{4\pi k g_0}{\Omega}.$$

$$n_0 \simeq \frac{\Omega}{4\pi k g_0} \text{ で FT が成り立つれば 正確な近似になる}.$$

§ 5 Floquet Engineering Ⅳ

Hubbard 模型

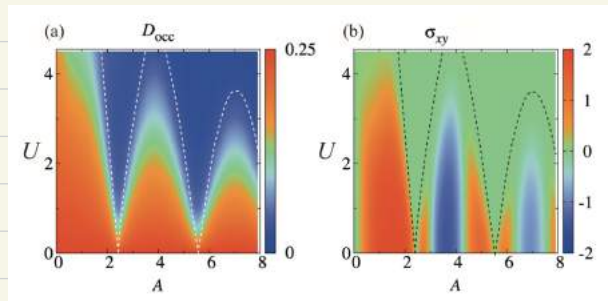
$$\hat{H}(t) = \sum_{\langle i,j \rangle} t_{ij} e^{-iA(t)(R_i - R_j)} \hat{c}_{i\sigma}^\dagger \hat{c}_{j\sigma} + U \sum_i \hat{n}_{i\uparrow} \hat{n}_{i\downarrow}.$$

まずは U の比較的小さなケースを見てみる。

◇ 動的局在現象

高周波展開の定義: $\hat{H}_{\text{eff}} = J_0(\lambda) \hat{T} + \hat{V}$
 → 実効的に U の大きさ領域でミニマムする
 (光誘起 Mott 電荷移動が起きる?)

(= カンバーハート + 円偏光, 開放系
 Floquet-DMFTによる計算)



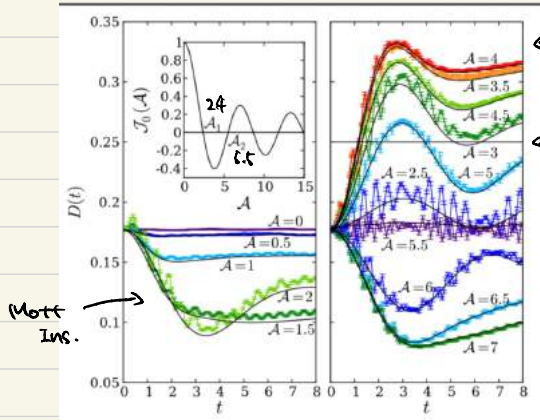
PRB 93, 144307 (2016)

◇ 動的 ("2D" 反転)

どうに A_0 を選ぶか? $J_0(A_0) < 0$ はなぜこれが起こる?

非平衡 DMFT について 時間発展 (孤立系)

$$\Omega = 2\pi, \nu = 1.$$



$\leftarrow D > 0.25$ で $J_0(A)$ の振動が止まる?
相互作用が弱い時

$\leftarrow D = 0.25$ (自由電子の値)

PRL 106, 236401 (2011)

ホーリーの符号と反転させたのと、
Uの符号が反転したかのように見える。

ミクロカーニカル分布は \hat{H}_{eff} と $-\hat{H}_{eff}$ で同じ状態をとる。
(ただし 温度の符号は 反転させた必要がある) $e^{\beta \hat{H}_{eff}} = e^{\beta(-\hat{H}_{eff})}$

しかし 組合せでなく、運動エネルギー E_{kin} が支配的なときは、
 $J_0(A_0)$ の符号を (突然) 反転させると 高エネルギー状態が優先的に占有された状態 (負温度) になる。

熱浴への散逸がなければ 実効的二重カーニカル系
(起因導体が期待される)

△ 有効エネルギー間相互作用.

今度は U 大きい極限を考え.

$$\text{atomic limit } \hat{H}_{\text{int}} = U \sum_{ij} \hat{n}_{i\uparrow} \hat{n}_{j\downarrow},$$

固有値は $\pm U$, $j \in \mathbb{N}$ は二重奇数の各々の値.

$\Delta E = \frac{U}{2} \cdot 2^L$ (ナット数, 電子数 L なら $E=0$ の状態は 2^L 個).

$t_{ij} e^{i\theta_{ij}}$ を加えると \hat{H}_{int} が角準位.

$= \alpha$ とき

$$\hat{H}_{\text{spin}} \approx \frac{1}{2} \sum_{ij} \frac{4|t_{ij}|^2}{U} S_i \cdot S_j.$$



ハセベウジ ハミルトニアン $= P - \alpha$ が出て、高周波電場と
接する (同様に) いざな.

$$\hat{H} = \begin{bmatrix} 0 & T_{01} & & \\ \hline T_{10} & 0 & T_{12} & \\ \hline & T_{21} & 2U & T_{23} \\ 0 & & T_{32} & 3U \\ \vdots & & \vdots & \ddots \end{bmatrix}$$

* ブローメル化は
ブローメル化には異なる.

$$e^{i\hat{\theta}} \hat{H} e^{-i\hat{\theta}} = \begin{bmatrix} \hat{H}_{\text{spin}} & & & \\ \hline & \hat{H}_{\leftarrow j, 1} & & \\ & & \hat{H}_{\leftarrow j, 2} & \\ 0 & & & \end{bmatrix}$$

レーベル空間 \mathcal{H} あるとき t , Sambe 空間 \mathcal{D} のプロトコル関数 $\hat{T}(t)$
 $(t \text{ time-periodic})$ $\hat{T}(t) > 1 \Leftrightarrow t = P \in \mathbb{Q}^*$ かつ t .

$$\hat{H}(t) = \hat{T}(t) + U \hat{D} \quad t \neq 0,$$

$$\hat{T}(t) = \hat{T}_{+}(t) + \hat{T}_0(t) + \hat{T}_{-}(t),$$

$$\left\{ \begin{array}{l} \hat{T}_{+} = \sum_{j \geq 0} t_{j0} \hat{n}_{j0} \hat{c}_{j0}^{+} \hat{c}_{j0} (1 - \hat{n}_{j0}) \\ \quad = \hat{T}_{-}(t)^{+}, \\ \hat{T}_0 = \sum_{j \geq 0} t_{jj} [\hat{n}_{jj} \hat{c}_{jj}^{+} \hat{c}_{jj} \hat{n}_{jj} \\ \quad + (1 - \hat{n}_{jj}) \hat{c}_{jj}^{+} \hat{c}_{jj} (1 - \hat{n}_{jj})] \end{array} \right.$$

$$\rightarrow [\hat{D}, \hat{T}_{+d}(t)] = d \hat{T}_{+d}(t).$$

$$\hat{T}_{+d}(t) = \sum_{m=-\infty}^{\infty} \hat{T}_{d,m} e^{-im\omega t} \quad \text{とす.}$$

$$\begin{aligned} \hat{H}_{\text{eff}} &= e^{\lambda \hat{N}(t)} (\hat{T}(t) - \lambda \partial_t) e^{-\lambda \hat{N}(t)} \\ &= U \hat{D} \\ &\quad + \hat{T}(t) + [\lambda \hat{N}(t), U \hat{D} - \lambda \partial_t] \\ &\quad + [\lambda \hat{N}(t), \hat{T}(t)] + \frac{1}{2} [\lambda \hat{N}(t), [\lambda \hat{N}(t), U \hat{D} - \lambda \partial_t]] \\ &\quad + \dots \end{aligned}$$

$= \text{レーベル操作子}$
 operator $\exp(\lambda \hat{N}(t))$
 (Sambe 空間 \mathcal{D} の
 $\lambda \Delta$)

$$\hat{T}(\leftrightarrow) + [\hat{\lambda}\hat{\lambda}^{(c)}, \hat{U}\hat{D} - \hat{\lambda}\partial_t] \quad \downarrow$$

$$0 = \hat{T}_{d,m} e^{-\hat{\lambda}m\Omega t} + [\hat{\lambda}\hat{\lambda}_{d,m}^{(c)} e^{-\hat{\lambda}m\Omega t}, \hat{U}\hat{D} - \hat{\lambda}\partial_t]$$

$$= (\hat{T}_{d,m} - (dU - m\Omega) \hat{\lambda}\hat{\lambda}_{d,m}^{(c)}) e^{-\hat{\lambda}m\Omega t}$$

(↑ で $d = m = 0$ は除く)

$$\rightarrow \hat{H}_{\text{eff}}^{(c)} = \hat{T}_{0,0} \quad \text{又, } \hat{\lambda}\hat{\lambda}_{0,0}^{(c)} = 0 \text{ とおなづく。}$$

$$[\hat{\lambda}\hat{\lambda}^{(c)}, \hat{T}(\leftrightarrow)] + \frac{1}{2} [\hat{\lambda}\hat{\lambda}^{(c)}, [\hat{\lambda}\hat{\lambda}^{(c)}, \hat{U}\hat{D} - \hat{\lambda}\partial_t]]$$

$$= [\hat{\lambda}\hat{\lambda}^{(c)}, \hat{T}(\leftrightarrow)] + \frac{1}{2} [\hat{\lambda}\hat{\lambda}^{(c)}, \hat{T}_{0,0} - \hat{T}(\leftrightarrow)]$$

特徴は $\hat{U}\hat{D}$, $-\hat{\lambda}\partial_t$ と \hat{T} の項が現る

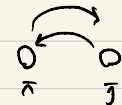
$$\begin{aligned} \hat{H}_{\text{eff}}^{(c2)} &= \frac{1}{2} \sum_{d,m} [\hat{\lambda}\hat{\lambda}_{d,m}^{(c)}, \hat{T}_{-d,-m}] \\ &= \frac{1}{2} \sum_{d,m} \frac{[\hat{T}_{d,m}, \hat{T}_{-d,-m}]}{dU - m\Omega} \end{aligned}$$

特徴は $\langle \hat{D} \rangle = 0$ のことから (\hat{H}_{spin}) で

$$\hat{H}_{\text{spin}}^{(2)} = - \sum_m \frac{\hat{T}_{-1,-m} \hat{T}_{+1,+m}}{U - m\Omega}$$

$\hat{H}_{\text{spin}}^{(2)}$ は
第2項の $\hat{C}_{\sigma\sigma}^+$

$$= - \sum_m \frac{\sum_{\sigma\sigma'} t_{\sigma\sigma'}^{(-m)} \hat{C}_{\sigma\sigma}^+ \hat{C}_{\sigma\sigma'}^- \sum_{\sigma'} t_{\sigma\sigma'}^{(m)} \hat{C}_{\sigma\sigma'}^+ \hat{C}_{\sigma\sigma}^-}{U - m\Omega}$$



$$= - \sum_m \sum_{\sigma\sigma'} \frac{|t_{\sigma\sigma'} J_m(A_{\sigma\sigma'})|^2}{U - m\Omega} \sum_{\sigma\sigma'} \hat{C}_{\sigma\sigma}^+ \hat{C}_{\sigma\sigma'}^- (\delta_{\sigma\sigma'} - \hat{C}_{\sigma\sigma'}^+ \hat{C}_{\sigma\sigma}^-)$$

half-filled のときの関係式

$$\hat{C}_{\sigma\sigma}^+ \hat{C}_{\sigma\sigma'}^- = \frac{1}{2} \delta_{\sigma\sigma} + \sigma_{\sigma\sigma'} \delta_{\sigma} \text{を使うと,}$$

$$\hat{H}_{\text{spin}}^{(2)} = \sum_m \sum_{ij} \frac{4t_{ij} J_m(A_{ij})}{U - m\Omega} (-\frac{1}{4} + \hat{\delta}_{ij} \cdot \hat{\vec{n}}_j)$$

ハーベンバウ" 相互作用 J "

$$J = \frac{4t^2}{U} \rightarrow \sum_{m=-\infty}^{\infty} \frac{4t^2 J_m^2(A_0)}{U - m\Omega} = \text{変化.}$$

電場 \vec{E} の磁性 J のコントロール" となる.

$U - m\Omega < 0$ の塊が大きくなると $J = 3$ となる

J は電磁性的になる.

(但し 3次元系、フェルミ子では負温度 $= -T$ で
電磁性転移は起きない)

• 四偏光の場合 どうなるか?

(半導体) 4偏光が複素数.

$$\hat{H}_{\text{spin}}^{(3)} \propto \sum_{ijk} \text{Im} \left(\frac{t_{ij} t_{jk} t_{ki}}{U^2} \right) (\vec{n}_i \times \vec{n}_j) \cdot \vec{n}_k$$

スカラーカラリティ塊.

四偏光、実部 t^2/U の場合,

4次方程を解くと現れる $(t^2 - U)^2 = \frac{t^2 \Delta t^2}{U^2}$ から

→ カイラス液体?

◇ $\gamma \propto T^{\alpha}$ の超伝導
Hubbard モデル

$$\hat{H} = \sum_{\langle i,j \rangle} t_{ij} \hat{c}_{i\sigma}^\dagger \hat{c}_{j\sigma} - \mu \sum_i \hat{n}_i - U \sum_i n_{i\uparrow} n_{i\downarrow}$$

弱結合: BCS 理論 . 強結合: 分子 BEC
 ↗ ノルマノル

斯波変換

bipartite つまり $\hat{c}_{i\uparrow} \rightarrow \hat{c}_{i\uparrow}^\dagger$ は i が A, B のどちらか

$$(-1)^i = \begin{cases} 1 & (\text{A sites}) \\ -1 & (\text{B sites}) \end{cases}$$

$$\begin{aligned} \hat{H} \rightarrow & \sum_{\langle i,j \rangle} t_{ij} \left(-\hat{c}_{i\uparrow}^\dagger \hat{c}_{j\uparrow} + \hat{c}_{i\downarrow}^\dagger \hat{c}_{j\downarrow} \right) \\ & - \mu \sum_i (1 - \hat{n}_{i\uparrow} + \hat{n}_{i\downarrow}) \\ & - U \sum_i (1 - \hat{n}_{i\uparrow}) \hat{n}_{i\downarrow}, \end{aligned}$$

$$\begin{aligned} &= \sum_{\langle i,j \rangle \sigma} t_{ij} \hat{c}_{i\sigma}^\dagger \hat{c}_{j\sigma} \\ &+ U \sum_i \hat{n}_{i\uparrow} \hat{n}_{i\downarrow} \end{aligned}$$

$$+ (U + \frac{U}{2}) \sum_i (\hat{n}_{i\uparrow} - \hat{n}_{i\downarrow}) - \frac{U}{2} \sum_i \hat{n}_i - \mu L$$

$\Psi \leftrightarrow \bar{\Psi}$ (+ 相互作用)

2 11-7 物理学の基礎 2 演習 3.

$$\hat{S}_i^z = \frac{1}{2} (\hat{n}_{i\uparrow} - \hat{n}_{i\downarrow}) \rightarrow \gamma_i^z = \frac{1}{2} (1 - \hat{n}_i).$$

$$\hat{S}_i^x + i \hat{S}_i^y = \hat{c}_{i\uparrow}^\dagger \hat{c}_{i\downarrow} \rightarrow \gamma_i^x + i \gamma_i^y = \hat{c}_{i\uparrow}^\dagger \hat{c}_{i\downarrow} \text{ 超伝導}$$

外場が入るとき？

$$\sum_{ij} t_{ij} e^{-iA(t)(R_i - R_j)} \hat{C}_{i\uparrow} \hat{C}_{j\uparrow}$$

$$\rightarrow \sum_{ij} t_{ij} e^{-iA(t)(R_i - R_j)} \hat{C}_{i\uparrow} \hat{C}_{j\uparrow}$$

$$= \sum_{ij} t_{ij} e^{+iA(t)(R_i - R_j)} \hat{C}_{i\uparrow} \hat{C}_{j\uparrow}$$

$$\rightarrow e^{-i\sigma A(t) \cdot (R_i - R_j)}$$

電場

→

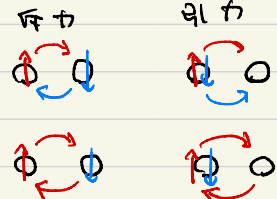
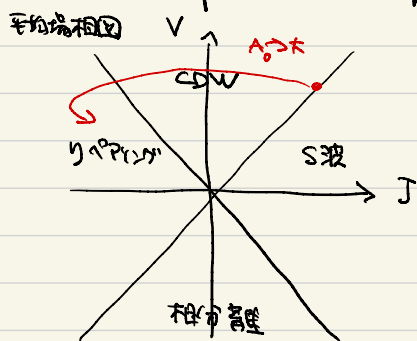
スビン軌道相互作用

引力と斥力の等価性が表れる！

$$\hat{H}_{\text{eff}} = \sum_{ij} [J_{\text{eff}} (y_{i\uparrow}^x y_{j\uparrow}^x + y_{i\downarrow}^y y_{j\downarrow}^y) + V_{\text{eff}} y_{i\uparrow}^z y_{j\downarrow}^z]$$

$$J_{\text{eff}} = \sum_m (-1)^m \frac{4t^2 J_m(A_0)^2}{|U| - m\Omega},$$

$$V_{\text{eff}} = \sum_m \frac{4t^2 J_m(A_0)^2}{|U| - m\Omega}.$$



$y_{i\uparrow}^z y_{j\downarrow}^z$ 相：

重心運動量 $\mathbf{Q} = (\pi/a, \pi/a, \pi/a)$ の状態。

ハーバード模型、高密度固有状態として知られる。

S波の解は自由エネルギーの極大。

CDW 相：

超伝導の解は自由エネルギーの極点。

→ 無限小の超電導が発現する。

S波 \rightarrow CDW \rightarrow イノビンゲン $\times A_0$ を変えていくと

独立系で S 波からイノビンゲンへのスペクトルが変化する。

◇ Flouquet トポロジカル超伝導

グラスラー + 固偏光 \rightarrow トポロジカル超伝導体.
 $(\text{high-}T_c)$ 超伝導体 + 固偏光 \rightarrow トポロジカル超伝導 ?

超伝導体の記述: Bogoliubov-de Gennes 形式

$$\left\{ \begin{array}{l} \hat{H}_{\text{BDG}} = \begin{pmatrix} \hat{c}_{k\uparrow} \\ \hat{c}_{k\downarrow}^+ \end{pmatrix}^\dagger \begin{pmatrix} E_k & \Delta_k \\ A_k^+ & -E_k \end{pmatrix} \begin{pmatrix} \hat{c}_{kp} \\ \hat{c}_{-kp}^+ \end{pmatrix} \\ \Delta_k = \sum_p V_{k,p} \langle \hat{c}_{p\downarrow} \hat{c}_{p\uparrow} \rangle \end{array} \right.$$

この有効一体問題
のトポロジを考えて.

外場 v_0 による "1" "1" "1" "1"

$$\rightarrow \hat{H}_{\text{BDG}}(t) = \begin{pmatrix} \hat{c}_{kp} \\ \hat{c}_{-kp}^+ \end{pmatrix}^\dagger \begin{pmatrix} E_{k+A(t)} & \Delta_k \\ A_k^+ & E_{-(k+A(t))} \end{pmatrix} \begin{pmatrix} \hat{c}_{kp} \\ \hat{c}_{-kp}^+ \end{pmatrix}$$

電磁場は実数関数 Δ_k と結合しない。

$\rightarrow H_{\text{BDG}}$ の commutator が (実数) の modulation が得られない。(※それがOKでない場合)

一方、有効相互作用 V_k は

より現象論的な関数として導入されるが

ミクロには多体効果が生まれる。

V_k が外場によって変調されてもよい。

強結合の Hubbard 模型

$$\rightarrow \hat{H}_{\text{tot}} = \hat{T}_0 + J \sum_{\langle i,j \rangle} \hat{\delta}_i \cdot \hat{\delta}_j$$

$\hat{\delta}_i$ の方程式を Gutzwiller 平均場近似のもと立てると

$$\Delta_k = -\frac{3J}{2} \underbrace{\sum_p (\cos k_x - \cos k_y) (\cos p_x - \cos p_y)}_{V_{k,p}} \langle \hat{c}_{-p\downarrow} \hat{c}_{p\uparrow} \rangle$$

d_{xy}^2 波を安定にする相互作用.

円偏光が反応するスカラーカイラル項

$J_x (\hat{\delta}_i \times \hat{\delta}_j) \cdot \hat{\delta}_k$ が誘起される.

また他にも 3 次トヨ項と呼ばれる 2 次矢量動項が

複素になる。(図の 3 次トヨと相互作用しながらホーリングする項)



これらの寄与は $V_{k,p}$ の変形

$$\rightarrow \delta V_{k,p} \approx -12\lambda (\gamma \delta \gamma + J_x X)$$

$$\times \sin(k_x - k_y) (\cos p_x - \cos p_y)$$

d_{xy}^2 波がいるとき、 $i d_{xy}$ 波を誘起する相互作用.

$d_{xy}^2 + i d_{xy}$ 型のホーリング超伝導

γ : 3 次トヨの強度

δ : ハミルトン量

X : ハミルトンの実部

まとめ

